UNIVERSITÉ DE NANCY

FACULTE DES SCIENCES

Now Right topy

Reçu 2 exemplaires le 21-1-

APPLICATION D'UNE NOUVELLE MÉTHODE NUMÉRIQUE DE QUADRATURE

AU CALCUL DES INTÉGRALES de FOURIER

THESE

pour l'obtention

du DOCTORAT de SPÉCIALITÉ (Mathématiques 3ème Cycle)

Soutenue devant le Jury en Octobre 1962

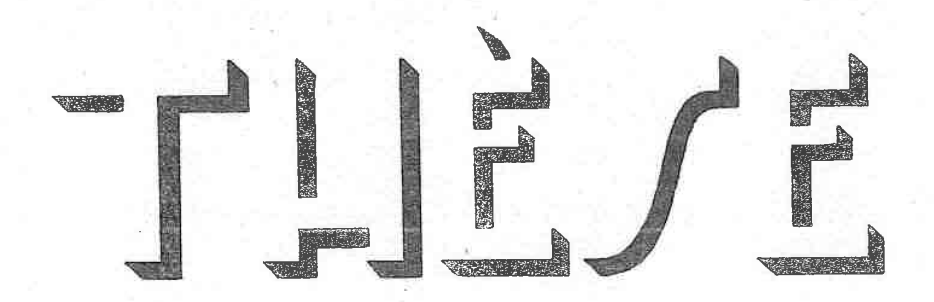
par

Marie-Claude VALENTIN

Jury: MM. J. LECRAS, Président.

M. DEPAIX)
Examinateurs
Melle HUET)

CALCUL DE LA TRANSFORMÉE DE FOURIER D'UNE FONCTION NUMÉRIQUE



POUR L'OBTENTION DOCTORAT

DE SPÉCIALITÉ MATHÉMATIQUE/(3°CYCLE)

SOUTENUE DEVANT LE JURY EN OCTOBRE 1962

PAR MADEMOISELLE Marie-Claude VALENTIN

JURY { M" LEGRAS Président | M" DEPAIX | Examinateur | MILLET | Examinateur |

UTITYLKITE DE HAMET FACULTÉ DE SCIENCES

Doyen Assesseur M. ROUBAULT . M. AUBRY

Doyens honoraires

: MM. CORNUBERT, DELSARTE, URION.

Arofesseurs honoraires : MM. GUTTON, CROZE, RAYBAUD, LAFFITTE, LERAY, JOLY, LAPORTE, EICHHORM, CAPELLE, GODEMENT, DUBREIL, L. SCHWARTZ DIEUDONNE, de MALLEMANN, LONGCHAMBON, LETORT, DODE, GAUTHIER, GOUDET, OLMER, CORNUBERT, CHAPELLE, GUERIN. CHEVALLIER.

Moîtres de conférences honoroires : MM. RAUX, LIENHART.

	- DE	20	FE	\iint	EL	IR/
--	------	----	----	---------	----	-----

MM. URION Chimie biologique LIONS M.M.P. DELSARTE Analyse supérieure SUHNER Physique experim ! ROUBAULT Géologie HILLY Géologie VEILLET Biologie animale LE GOFF Génie chimique ECHEVIN Botanique CHAPON Chimie biologique Chimie théorique BARRIOL HEROLD Chimie industrielle BIZETTE Physique SCHWARTZ Exploitation minière GUILLIEN Electronique GAYET Physiologie GIBERT Chimie Physique MANGENOT Phytopathologie HERVE Calcul dif. et integ. MALAPRADE Chimie LEGRAS Mécanique rationnelle HADNI Physique DAVID Chimie organique DELAMARE-DEBOUTEVILLE Zoologie BOLFA Mécanique physique Minéralogie BONVALET NICLAUSE Chimie Mme ROIZEN Physique FAIVRE Physique appliquée KERN Mineralogie Chimie minerale AUBRY BASTICK Chimie DUVAL Chimie DUCHAUFOUR Pedologie (OPPENS Radiogéologie NEEL Chimie industrielle TRUHLING Physique organique

(ONFÉRENCES MAITRES DE

MM. WERNER Botanique VUILLAUME Psychophysiologie JARNIER Agronomie PLAN Mécanique physique Mme BASTICK REGNIER Physico-chimie Chimie MPC (Epimal) WEPPE Mineralogie appliquée GUDEFIN Physique BERMARD Geologie HORN Physique Mothematiques gen! REMARD Physique theorique et nucl. CERF CONDE Zoologie FRENTZ Biologie animale Mme HERVE Moth. (propédeutique, GOSSE Génie chimique CHAMPIER Physique AUROUZE Paléontologie GAY Chimie biologique Physique M.P.C. FELDEN ROCCI Géologie [Epinal]

CHARGES & ENSEIGNEMENT MM MARI Chimie (1.5.1.N.) EYMARD LAFON Physique (1.S.I.N.) DANYSZ

Secretaire Principal: M. CARON

Math. propédeutique Mécanique physique (1.S.I.N.)

Je tiens à exprimer à mon professeur monsieur Jean Legras ma profonde reconnaissance pour l'intérêt constant, les précieux conseils et l'amicale sollicitude qu'il a bien voulu me témoigner au cours de ce travail.

Je prie Messieurs les Grofesseurs composant le Jury d'acceptor l'expression de ma respectucuse gratitude.

Je remercie les Secrétaires du Centre et tous mes camarades de leur aide si sympathique, en particulier mon amic madame Giannesini qui a cu l'amabilité de me faire bénéficier de ses propres recherches.

NTRODUCT: ON

lour calculer le nombre représenté par l'intégrale définie $\int_{a}^{b} f(x) dx$

on distingue habituellement deux familles de méthodes:

Les méthodes mathématiques dites "algébriques": recherche de la primitive, développement de la fonction f(x) en séries entières, intégration dans le plan complexe, dérivation ou intégration sous le signe f(x).

Et les méthodes numériques lorsque les précédentes se sont révélées insuffisantes ou lorsque toutes les données sont numériques.

- Cer dernières: méthodes de COTES, de GAUSS ou autres consistent d'abord à interpoler la fonction f(x) par un polynôme $P_n(x)$ et à remplacer ensuite le calcul de $\int_a^b f(x) dx$ par celui de $\int_a^b P_n(x) dx$.

- Elles donnent des résultats a satisfaisants,

Ji la courbe de f(x) est "suffisamment régulière" pour que son appro--ximation par le polynôme d'interpolation $P_n(x)$ soit bonne. Si la courbe possède des dérivées infinies il est difficile d'approcher correctement la fonction par un polynôme autour des points à tangente infinie. Ainsi fait-on appel à la méthode de GAUSS généralisée pour calculer les intégrales de la forme $\int_{-1}^{+1} f(x) \sqrt{1-x^2} dx$; $\int_{-1}^{4} f(x) \log x dx$,

 $f(\infty)$ étant régulière mais les produits $f(\infty)$ $V_1-\infty^2$; $f(\infty)$ Log ∞ , possédant des dérivées infinies aux bornes d'intégration.

- Plus généralement, nous allons avoir à calculer des intégrales de la forme $\int_{-\infty}^{\infty} k(x) f(x) dx$; -k(x) étant le "noyau", fonction qui sera définie a par une expression mathématique, et f(x) étant une "fonction numérique, donnée non par une écriture mathématique mais par ses valeurs numériques à différentes aboisses x.

- Les intégrales de cette forme sont bien une généralisation des précédentes, puisqu'il suffit de prendre le noyau identique à 1 (&= 1) nour tetrouver les intégrales définies. De plus, remarquons que nous nourrions poser k(x) f(x) = F(x) pour revenir au car f(x) f(x) de exposé ci-dessus, mais qu'alors, nous aurions une perte a d'information "puisque l'expression mathématique de k(x) est beaucoup plus riche en information que ses valeurs numériques en un nombre fini de points, ce qui entraînerait une perte de précision.

- Dans la méthode que nous allons présenter, nous commencerons comme dans les autres méthodes numériques par interpoler la fonction f(x) par un polynôme, c'est pourquoi le début de notre exposé nortera sur la représentation des polynômes de LAGRANGE sous une forme modernisée: "Les Matrices de LAGRANGE". Ensuite nous montrerons comment calculer l'intégrale générale (*k(x)) (x) dx par interpolations successives sur des arcs se chevauchants. Et nous appliquerons cette méthode au calcul des coefficients de séries de FOURIER et à celui de la Transformée de FOURIER d'une fonction numérique.

1er CHAPITRE -

Les Matrices de LAGRANGE

Polynômes de LAGRANGE

. In appelle polynôme de LAGRANGE d'ordre i L (x) le polynôme de degré n: $L_i(x)=\frac{(x-x_o)...(x-x_{i-1})(x-x_{i+1})...(x-x_n)}{(x_i-x_o)...(x_i-x_{i-1})(x_i-x_{i+1})...(x_i-x_n)}$ tel que : $L_i(x_j)=S_{i,j}=\begin{cases} 1 & \text{si } i=j \\ 0 & \text{si } i\neq j \end{cases}$

. Interpoler la fonction f(x) définie en (n+1) points x_0 , $x_1, \dots x_i$, $\dots x_n$ prenant les valeurs f_0 , f_1 , $\dots f_n$ en cer points, c'est trouver un polynôme $P_n(x)$ tel que

 $P_{n}(x_{i}) = f(x_{i}) = f_{n} \qquad i = 0, 1, ... n$ $\text{l'expression } f_{0} L_{0}(x) + f_{1} L_{1}(x) + ... + f_{1} L_{1}(x) + ... + f_{n} L_{n}(x) = P_{n}(x)$ $\text{est exactement un polynôme de degré n qui prend aux points } x_{0}, ... \\ x_{i}, ... x_{n} \text{ les valeurs } f_{0}, ... f_{i}, ... f_{n}, \text{ c'est donc le polynôme d'interpolation de } f(x)$ $P_{n}(x) = \sum_{i=0}^{n} f_{i} L_{i}(x)$

On montre aisément qu'il est unique.

Matrices de LAGRANGE

sous la forme: $L_{i}(x) = B_{o}^{i} + B_{1}^{i} x + + B_{j}^{i} x^{j} + + B_{n}^{i} x^{n}.$

Formons la matrice $\begin{vmatrix} B_0^* & B_1^* & B_0^* & B_0^* \\ B_1^* & B_1^* & B_1^* & B_1^* \\ B_n^* & B_n^* & B_n^* & B_n^* \\ B_n^* & B_n^* & B_n^* & B_n^* \end{vmatrix}$

aù les éléments de la colonne i sont les coefficients du polynôme de LAGRANGE d'ordre i.

Montrons que nous pouvons alors écrire $P_n(x)$ sous la forme d'un double produit de matrices : $|x|' |L_n| \{ f \}$

où |x|' est la matrice ligne $|1 \propto x^2 \dots x^{\frac{1}{2}} \dots x^{\frac{1}{2}}$ et $\{f\}$ la matrice colonne |f|

En effet: $\left|\mathbf{x} \mid ' \mid \mathbf{L}_{n} \right| = \left| \mathbf{1} \mathbf{x} \dots \mathbf{x}^{\delta} \dots \mathbf{x}^{n} \right| \left| \begin{array}{c} \mathbf{B}_{o}^{\circ} & \mathbf{B}_{o}^{1} \dots \mathbf{B}_{o}^{1} \\ \mathbf{B}_{j}^{\circ} & \mathbf{B}_{j}^{1} \dots \mathbf{B}_{j}^{1} \dots \mathbf{B}_{n}^{n} \end{array} \right| = \left| \mathbf{L}_{o}(\mathbf{x}) \mathbf{L}_{1}(\mathbf{x}) \dots \mathbf{L}_{1}(\mathbf{x}) \dots \mathbf{L}_{n}(\mathbf{x}) \right|$

et $\left| L_{o}(\infty) L_{1}(\infty) \dots L_{i}(\infty) \dots L_{n}(\infty) \right|$ $\begin{cases} f_{o} \\ f_{i} \\ f_{n} \end{cases} = f_{o} L_{o}(\infty) + f_{1} L_{1}(\infty) + \dots + f_{i} L_{i}(\infty) + \dots + f_{n} L_{n}(\infty)$

None $P_n(x) = \sum_{i=0}^n f_i L_i(x) = |x| / |L_n| \{f\}$

 $\frac{Remarque}{B_o^o B_o^1 B_o^1 B_o^1} \stackrel{\text{le produit}}{=} \left| L_n \right| \left\{ f \right\} \text{ met en évidence les coefficients } A_i \text{ du polynôme } P_n(x)$ $\left| L_n \right| \left\{ f \right\} = \left| \begin{array}{c} B_o^o B_o^1 B$

et $P_n(x) = |x|'|L_n|\{f\} = |x|'\{A\} = A_0 + A_1x + + A_1x^n + + A_nx^n$ -Les éléments de la matrice |A| sont bien les coefficients du polynôme d'interpolation.

Calcul der Matrices de LAGRANGE.

Le polynôme Pn (x) peut s'écrire:

 $P_{n}(x) = \left| 1 \frac{x}{h} \frac{x^{2}}{h^{2}} \dots \frac{x^{d}}{h^{d}} \dots \frac{x^{n}}{h^{n}} \right| \left| L_{n} \right| \left\{ \xi \right\}$

- Un programme a été établi au Centre de Calcul de l'Univer-- sité de NANCY, sur I.B.M. 650 pour calculer les coefficients des poly-nômes $L_i(x)$, quelles que soient les valeurs x_0 , x_1 ,... x_n pour lesquelles nous voulons interpoler la fonction.

- Posons: R_{n+1} $(\infty) = (\infty - \infty_0)(\infty - \infty_1)...(\infty - \infty_i)...(\infty - \infty_n)$ Soit: $S_{i}(x) = \frac{R_{n+1}(x)}{x-x_{i}}$ alors $L_{i}(x) = \frac{S_{i}(x)}{S_{i}(x_{i})}$

 $S_{i}(x)$, étant un quotient exact, il s'introduit des erreurs de chute importantes lors du calcul sur ordinateur. La méthode a donc consisté à calculer pour chaque polynôme $L_{i}(x)$, le polynôme $S_{i}(x) = (x-x_{0})....(x-x_{i-1})(x-x_{i+1})...(x-x_{n})$ puis à normaliser.

Résultats des matrices de LAGRANGE régulières pour les premières valeurs de n.

$$\begin{vmatrix} L_2 \end{vmatrix} = \begin{vmatrix} -1 & 0 & 0 \\ -\frac{3}{2} & 2 & -\frac{1}{2} \\ \frac{1}{2} & -1 & -\frac{1}{2} \end{vmatrix}$$

$$\begin{vmatrix} 1 & 0 & 0 & 0 \\ -\frac{11}{6} & 3 & -\frac{3}{2} & \frac{1}{3} \\ 1 & -\frac{5}{2} & 2 & -\frac{1}{2} \\ -\frac{1}{6} & \frac{1}{2} & -\frac{1}{2} & \frac{1}{6} \end{vmatrix}$$

$$\begin{vmatrix} 1 & 0 & 0 & 0 & 0 \\ -\frac{25}{12} & 4 & -3 & \frac{4}{3} & -\frac{1}{4} \\ \frac{35}{24} & \frac{13}{3} & \frac{19}{4} & \frac{7}{3} & \frac{11}{24} \\ -\frac{5}{12} & \frac{3}{2} & -2 & 7 & -\frac{1}{4} \\ \frac{1}{24} & -\frac{1}{6} & \frac{1}{4} & -\frac{1}{6} & \frac{1}{24} \end{vmatrix}$$

Propriétés.

Les matrices L_n sont les inverses des matrices de VAN DER MOND Vn. D'aprèr la définition des polynômes Li (x)

<u>Dérivation</u> Nous avons écrit précédemment:

$$P_n(x) = A_0 + A_1 x + A_2 x^2 + \dots + A_j x^j + \dots + A_n x^n$$

ce qui entraîne: $P_n(x) = A_1 + 2A_2x + \dots + jA_jx^{j-1} + \dots + nA_nx^{n-1}$ Soit, sous forme matricielle:

$$\frac{d P_n}{d \infty} = \left| 0 + 2 \infty + 3 \infty^2 \dots j \infty^{j-1} \dots n \infty^{n-1} \right| \left\{ A \right\} = \left(\frac{d}{d \infty} \left| \infty \right|' \right) \left| L_n \right| \left\{ f \right\}$$

la matrice ligne en ∞ est simplement obtenue nar dérivation terme à terme de la matrice $|\infty|' = |1 \propto \infty^2 \dots \infty^n|$, le produit $\{A\} = |L_n| \{f\}$ reste inchangé.

de même $\frac{d^{\frac{1}{k}}P_{n}}{dx^{\frac{1}{k}}} = \left(\frac{d^{\frac{1}{k}}}{dx^{\frac{1}{k}}} \mid x \mid'\right) \mid L_{n} \mid \left\{ \frac{1}{k} \right\}$

Integration

Nous avons: $\int_{0}^{\infty} P_{n}(u) du = A_{0} x + \frac{A_{1}}{2} x^{2} + \frac{A_{2}}{3} x^{3} + \dots + \frac{A_{j}}{j+1} x^{j+1} + \dots + \frac{A_{n}}{n+1} x^{n+1}$

Soit, sous forme matricielle:

 $\int_{0}^{\infty} P_{n}(u) du = \left| x - \frac{x^{2}}{2} - \frac{x^{3}}{3} - \frac{x^{3+4}}{3+1} - \frac{x^{n+4}}{n+1} \right| \left\{ A \right\} = \left| x - \frac{x^{2}}{2} - \frac{x^{3+4}}{3+1} - \frac{x^{n+4}}{n+1} \right| \left| L_{n} \right| \left\{ \beta \right\}$

La matrice ligne en oc est obtenue par intégration terme à terme de la matrice $|\infty|'=|1\propto x^2...x^n|$, le produit $\{A\}=|L_n|\{f\}$ reste inchangé.

- $\frac{(\text{alculer les valeurs de l'expression}}{f(x)} Y(x) = f''(x) - a(x)f(x)$ f(x) donnée par ses valeurs f_0 ; f_1 ; f_2 ; f_3 aux points o_1h ; 2h; 3h. Soit $P_3(x)$ le polynôme d'interpolation de f(x) de degré 3.

$$P_{3}\left(\infty\right) = \left|1 \frac{x}{n} \frac{x^{2}}{n!} \frac{x^{3}}{n!} \right| \left| L_{3} \left| \left\{ \frac{1}{n} \right\} \right|$$

Nous avons alors:

$$P_3''(\infty) = \left| \begin{array}{ccc} 0 & 0 & \frac{2}{R^2} & \frac{6\infty}{R^3} \end{array} \right| \left| \begin{array}{c} L_3 \end{array} \right| \left\{ \begin{array}{c} f \\ 0 \end{array} \right\}$$

at $a(x) P_3(x) = \left[a(x) \frac{x}{\ell} a(x) \frac{x^2}{\ell^2} a(x) \frac{x^3}{\ell^3} a(x)\right] \left[L_3\right] \left\{ f \right\}$ d'où $Y(x) = \left| -\alpha(x) - \frac{x}{4} \alpha(x) \right| = \left|$ nour $x = x_i$ $Y(x_i) = [E_i^\circ E_i^1 E_i^2 E_i^3] \{ \{ \} \}$ En posant $E_{i}^{\circ} = -a(x_{i})$; $E_{i}^{1} = -\frac{x_{i} a(x_{i})}{x}$; $E_{i}^{2} = \frac{2-x_{i}^{2} a(x_{i})}{x^{2}}$; $E_{i}^{3} = \frac{6x_{i}-x_{i}^{3} a(x_{i})}{x^{3}}$ Pour différenter valeurs de x : x, ; x, ; ... x; ... x,

nous evenu $\{y\} = |E| |L_3| \{f\}$ - (alcul de $I = \int_{\ell}^{2h} f(x) dx$

 $f(\infty)$ donnée par f_0 ; f_1 ; f_2 ; f_3 aux points o; h; 2h; 3h. Comme précédemment approchans $f(\infty)$ par le polynôme d'interpolation $P_3(\infty)$ de degre 3.

Nous avons. $I_3 = \int_{\ell}^{2k} P_3(x) dx = \left| J_0 J_1 J_2 J_3 \right| \left| L_3 \right| \left\{ f \right\}$ $J_0 = \int_0^{2h} 1 \, dx$ $J_1 = \int_0^{2h} \frac{x}{h} \, dx$ $J_2 = \int_0^{2h} \frac{x^2}{\ell!} dx$ $J_3 = \int_0^{2h} \frac{x^3}{\ell!} dx$

Nous voyons que $J_0 = h$; $J_1 = \frac{3h}{2}$; $J_2 = \frac{7h}{3}$; $J_3 = \frac{45h}{3}$ Soit $\int_{4}^{2h} P_{3}(x) dx = h \frac{3h}{2} \frac{7h}{3} \frac{15h}{4} || L_{3} | \{ \} \}$

Ou
$$I_3 = \begin{vmatrix} h & 3h & 7h & 15h \\ 2 & 3 & 4 \end{vmatrix}$$

$$\begin{vmatrix} 1 & 0 & 0 & 0 \\ -\frac{11}{6} & 3 & -\frac{3}{2} & \frac{1}{3} \\ 1 & -\frac{5}{2} & 2 & -\frac{1}{2} \\ -\frac{1}{6} & \frac{1}{2} & -\frac{1}{2} & \frac{1}{6} \end{vmatrix}$$

$$\begin{vmatrix} f_0 \\ f_1 \\ f_2 \\ -\frac{1}{6} & \frac{1}{2} & -\frac{1}{2} & \frac{1}{6} \end{vmatrix}$$

 $I_3 = \frac{h}{24} \left(-f_0 + 13 f_1 + 13 f_2 - f_3 \right)$ et

2ième (HAPITRE -

Les Méthodes Composites d'Intégration

Las méthodes usuelles d'intégration.

Elles peuvent remplacer la fonction f(x) par un seul polynôme sur tout l'intervalle d'intégration, ce qui donne des résultats satisfaisants lorsque cet intervalle n'est pas trop grand, mais ce qui, dans le cas contraire, même lorsqu'on augmente le degré du polynôme d'approximation, introduit souvent des erreurs trop importantes.

et interpoler f(x) sur chacun de ceux ci, ce qui fait jouer un tôle particulier et arbitraire aux points de coupe; en effet nous apro-chons ainsi la fonction f(x) par une fonction dont les dérivées sont discontinues à chaque jonction, d'où une baisse de la qualité de l'approximation.

La méthode composite consiste à interpoler la fonction f(x) par un polynôme de LAGRANGE de degré p sur un arc p fois plus grand que celui sur lequel nous calculerons une intégrale partielle.

l'arc EF (fig. 1) par le polynôme de degré $5: P_5(\infty)$ passant par

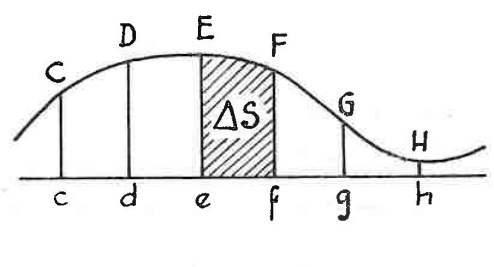


fig. 1

les points CDEFGH, et nous considérerons comme la contribution dans l'intégrale totale.

 $\int_{-\infty}^{\infty} k(x) f(x) dx$ de l'intégrale partielle ΔS sur l'intervalle ef la valeur approchée

$$\Delta S = \int_{e}^{\beta} k(x) P_{p}(x) dx$$
avec ici $p = 5$

Nous nouvons évidenment prendre pour p différentes valeurs, en général implaires pour des raisons de symétrie, sauf aux extrémités lorsque la fonction n'est pas connue en dehors de l'intervalle d'intégration.

Méthode composite ordinaire.

fig. 2

$$M_{i-1} = \begin{pmatrix} M_{i+1} & M_{i+2} \\ M_{i+1} & M_{i+2} \\ M_{i+1} & M_{i+2} \end{pmatrix}$$

Soit $[x_i = a + ih; x_{i+1} = a + (i+1)h]$ un de cer intervaller f(x) ert donnée aux points $x_{i-1}; x_i; x_{i+1}; x_{i+2}$ par ser valeurs $f_{i-1}; f_i; f_{i+1}; f_{i+2}$ (cf. fig. 2)

Alors $\Delta_i S$, $\Delta_i S$ étant égal à $\int_{\infty}^{\infty} f(x) dx$ ou à $\int_{\infty}^{2h} f(x_{i-1} + t)$

dt par le changement de variable $t=\infty-\infty_{i-1}$, est approchée par l'inlègrale $\int_{h}^{2h} P_3(t) dt$; $P_3(t)$ premant bien les valeurs f_{i-1} ; f_i ; fi+1; fi+2 aux points t=0; h; 2h; 3h.

Soit
$$\Delta_i S = h \left[\beta_0 \int_{i-1}^{i-1} + \beta_1 \int_{i}^{i} + \beta_2 \int_{i+1}^{i+1} + \beta_3 \int_{i+2}^{i+2} \right]$$

avec $\beta_0 = \beta_3 = -\frac{1}{24}$ et $\beta_1 = \beta_2 = \frac{13}{24}$

d'aptèr ce que nous avons vu au 1er chapitre (2º application)
Supposons la fonction $f(\infty)$ connue en dehors de l'intervalle
d'intégration, prenant les valeurs f_{-1} ; f_0 ; f_1 ;... f_i ;... f_n ; f_{n+1} aux
points a-h; a+h;.... a+h;.... a+h;.... b; b+h.

Nous avons (cf. fig 3):

$$I = \Delta_{0} S + \Delta_{1} S + ... + \Delta_{i} S + ... + \Delta_{n-1} S.$$

$$AS \Delta_{0} \Delta_$$

Soit en faisant la somme:

$$I = h \left\{ \beta_{0} f_{-A} + (\beta_{0} + \beta_{1}) f_{0} + (\beta_{0} + \beta_{1} + \beta_{2}) f_{1} + (\beta_{0} + \beta_{1} + \beta_{2} + \beta_{3}) f_{2} + \dots + (\beta_{0} + \beta_{1} + \beta_{2} + \beta_{3}) f_{i} + \dots + (\beta_{0} + \beta_{1} + \beta_{2} + \beta_{3}) f_{n-2} + (\beta_{0} + \beta_{1} + \beta_{2}) f_{n-4} + (\beta_{2} + \beta_{3}) f_{n} + \beta_{3} f_{n+1} \right\}$$

$$\text{OU} \left[\int_{a}^{b} f(x) \, dx = h \left\{ -\frac{f-1}{24} + \frac{f_{0}}{2} + \frac{25f_{1}}{24} + f_{2} + \dots + f_{1} + \dots + f_{n-2} + \frac{25f_{n-4}}{24} + \frac{f_{n}}{2} - \frac{f_{n+1}}{24} \right\} \right]$$

La formule met en évidence les effets d'extrémités ou termes correctifs, les termes centraux ayant tous comme coeficient h.

Juposons que la fonction f(x) n'est pas connue en dehors de l'inter
-valle d'intégration, nous aurons d'autres expressions nour les effets d'extrémités.

Dans le cas précédent par exemple, si f, et f_{n+1} ne peuvent être connus, nous calculerons Δ. S et Δ_{n-1} 5 en interpolant la fonction f(x) sur les arcs M_0 M_1 et M_{n-1} M_n par un polynôme de degré 2 passant par les points M_0 M_1 M_2 et M_{n-1} M_n (cf figure 3).

$$P_{2}(x) = \left| 1 \frac{x}{R} \frac{x^{2}}{R^{2}} \right| \left| L_{2} \right| \left\{ \frac{1}{8} \right\}$$

$$\text{finsi } \Delta_{o} S = \left| h \frac{h}{2} \frac{h}{3} \right| \left| L_{2} \right| \left\{ \frac{1}{8} \right\}$$

$$\text{OU } \left\{ \frac{1}{R} \Delta_{o} S = \alpha_{o} \int_{0} + \alpha_{1} \int_{1} + \alpha_{2} \int_{2} \left\{ \frac{1}{R} \Delta_{n-A} S = \alpha_{2} \int_{n-2} + \alpha_{1} \int_{n-A} + \alpha_{o} \int_{n} \left\{ \frac{1}{R} \Delta_{n-A} S = \alpha_{2} \int_{n-2} + \alpha_{1} \int_{n-A} + \alpha_{o} \int_{n} \left\{ \frac{1}{R} \Delta_{n-A} S = \alpha_{2} \int_{n-2} + \alpha_{1} \int_{n-A} + \alpha_{o} \int_{n} \left\{ \frac{1}{R} \Delta_{n-A} S = \alpha_{2} \int_{n-2} + \alpha_{1} \int_{n-A} + \alpha_{o} \int_{n} \left\{ \frac{1}{R} \Delta_{n-A} S = \alpha_{2} \int_{n-2} + \alpha_{1} \int_{n-A} + \alpha_{o} \int_{n} \left\{ \frac{1}{R} \Delta_{n-A} S = \alpha_{2} \int_{n-2} + \alpha_{1} \int_{n-A} + \alpha_{0} \int_{n} \left\{ \frac{1}{R} \Delta_{n-A} S = \alpha_{1} \right\} \right\} = \left| \frac{1}{R} \Delta_{n-A} S = \alpha_{1} \int_{n-2} + \alpha_{1} \int_{n-A} + \alpha_{2} \int_{n} \left\{ \frac{1}{R} \Delta_{n-A} S = \alpha_{2} \int_{n-2} + \alpha_{1} \int_{n-A} + \alpha_{2} \int_{n} \left\{ \frac{1}{R} \Delta_{n-A} S = \alpha_{1} \right\} \right| = \left| \frac{1}{R} \Delta_{n-A} S = \alpha_{1} \int_{n-2} + \alpha_{1} \int_{n-A} + \alpha_{2} \int_{n} \left\{ \frac{1}{R} \Delta_{n-A} S = \alpha_{2} \int_{n-2} + \alpha_{1} \int_{n-A} + \alpha_{2} \int_{n} \left\{ \frac{1}{R} \Delta_{n-A} S = \alpha_{2} \int_{n-2} + \alpha_{1} \int_{n-A} + \alpha_{2} \int_{n} \left\{ \frac{1}{R} \Delta_{n-A} S = \alpha_{2} \int_{n-2} + \alpha_{1} \int_{n-A} + \alpha_{2} \int_{n} \left\{ \frac{1}{R} \Delta_{n-A} S = \alpha_{2} \int_{n-2} + \alpha_{1} \int_{n-A} + \alpha_{2} \int_{n} \left\{ \frac{1}{R} \Delta_{n-A} S = \alpha_{2} \int_{n-2} + \alpha_{1} \int_{n-A} + \alpha_{2} \int_{n} \left\{ \frac{1}{R} \Delta_{n-A} S = \alpha_{2} \int_{n-2} + \alpha_{1} \int_{n-A} + \alpha_{2} \int_{n} \left\{ \frac{1}{R} \Delta_{n-A} S = \alpha_{2} \int_{n-2} + \alpha_{1} \int_{n} + \alpha_{2} \int_{n} \left\{ \frac{1}{R} \Delta_{n-A} S = \alpha_{2} \int_{n} + \alpha_{2} \int_{n} + \alpha_{2} \int_{n} \left\{ \frac{1}{R} \Delta_{n-A} S = \alpha_{2} \int_{n} + \alpha$$

La contribution der autrer $\Delta_i S$ (i = 1; 2...n-2) restant identique, nous avons en définitive:

$$\int_{a}^{\ell} f(x) dx = h \left\{ \frac{3f_{0} + 7f_{1} + \frac{23f_{2}}{24} + f_{3} + \dots + f_{i} + \dots + f_{n-3} + \frac{23f_{n-2} + 7f_{n-1} + \frac{3f_{n}}{8}}{6} \right\}$$

- Las d'une fonction symétrique:

Joit à calculer $\int_{-a}^{+a} f(x) dx$ avec $f(x) = f(-\infty)$

lans le cas où f(x) est connue en dehors de l'intervalle d'intégration nous avons, d'après la formule ci-dessus:

mais ici f-1 = fn+1; fo = fn; ...fi = fi
-valler partiels dans l'intervalle [-a; +a] vil y a un nombre pair d'inter-

En parant donc f'; f'_1 ; ... f'_m ; valeurs de la fonction f(x) aux points o; h; ... a = mh; a + h = (m+1)h, nous voyons que: $\int_{-2}^{+2} f(x) dx = 2 h \left\{ \frac{f_0}{g} + f_1 + \dots + f_i + \dots + \frac{25 f_{m-1}}{24} + \frac{f_m}{2} - \frac{f_{m+1}}{24} \right\}$

 $\frac{\int_{a} d'une \quad fonction \quad périodique}{\int_{a} f(x) \quad fonction \quad périodique} = \frac{\int_{a} f(x) dx}{\int_{a} f(x) \quad fonction \quad périodique} = \frac{\int_{a} f(x) dx}{\int_{a} f(x) \quad fonction} = \frac{\int_{a} f(x) f(x) dx}{\int_{a} f(x) \quad fonction} = \frac{\int_{a} f(x) f(x) dx}{\int_{a} f(x) \quad fonction} = \frac{\int_{a} f(x) f(x) dx}{\int_{a} f(x) f(x) \quad fonction} = \frac{\int_{a} f(x) f(x) f(x) dx}{\int_{a} f(x) f(x) f(x) \quad fonction} = \frac{\int_{a} f(x) f(x) f(x) f(x) f(x) f(x)}{\int_{a} f(x) f(x) f(x) f(x) f(x) f(x)} = \frac{\int_{a} f(x) f(x) f(x) f(x) f(x) f(x) f(x)}{\int_{a} f(x) f(x) f(x) f(x) f(x) f(x)} = \frac{\int_{a} f(x) f(x) f(x) f(x) f(x) f(x) f(x)}{\int_{a} f(x) f(x) f(x) f(x) f(x)} = \frac{\int_{a} f(x) f(x) f(x) f(x) f(x) f(x)}{\int_{a} f(x) f(x) f(x) f(x) f(x)} = \frac{\int_{a} f(x) f(x) f(x) f(x) f(x) f(x)}{\int_{a} f(x) f(x) f(x) f(x) f(x)} = \frac{\int_{a} f(x) f(x) f(x) f(x) f(x) f(x)}{\int_{a} f(x) f(x) f(x) f(x)} = \frac{\int_{a} f(x) f(x) f(x) f(x) f(x) f(x)}{\int_{a} f(x) f(x) f(x) f(x)} = \frac{\int_{a} f(x) f(x) f(x) f(x) f(x)}{\int_{a} f(x) f(x) f(x)} = \frac{\int_{a} f(x) f(x) f(x) f(x) f(x)}$

Jeuls les termes "centraux" interviennent, quelque soit le degré du polynôme d'approximation. En effet, lors qu'on intègre sur un intervalle de R périodes, presque tous les termes sont des termes centraux, mais chaque valeur de f(x) dans l'intervalle [a, b] se retrouvent R fois. Plus R est grand et moins interviennent les effets d'extrémités dans la valeur de l'intégrale. En effet: Nous nous rapprochons de la formule des trapèzes.

Remarque: nous pouvons augmenter le degré du polynôme d'approximation.

Ainsi si nous prenons h=5, il faut reprendre le calcul préliminaire. $\Delta_i S = \int_{2R}^{3h} P_5(x) dx = |J_0 J_1 J_2 J_3 J_4 J_5| |L_5| \{f\}.$

 $\Delta_{i} S = \int_{2h}^{3h} P_{5}(x) dx = \left| J_{o} J_{1} J_{2} J_{3} J_{4} J_{5} \right| \left| L_{5} \right| \left\{ f \right\}.$ avec $J_{o} = \int_{2h}^{3h} dx = h$; $J_{1} = \int_{2h}^{3h} \frac{x}{h} dx = \frac{5h}{2}$; $J_{2} = \int_{2h}^{3h} \frac{x^{2}}{h^{2}} dx = \frac{19h}{3}$;

$$\begin{split} J_{3} &= \int_{2h}^{3h} \frac{x^{3}}{h^{3}} \, dx = \frac{65h}{4} \; ; \; J_{4} &= \int_{2h}^{3h} \frac{x^{4}}{h^{4}} \, dx = \frac{2 \, \text{ll} \, h}{5} \; ; \; J_{5} &= \int_{2h}^{3h} \frac{x^{5}}{h^{5}} \, dx = \frac{665 \, h}{6} \; . \\ \Delta_{i} S &= h \; \left(\beta_{0} \, \int_{i-2} + \beta_{1} \, \int_{i-1} + \beta_{2} \, \int_{i} + \beta_{3} \, \int_{i+1} + \beta_{4} \, \int_{i+2} + \beta_{5} \, \int_{i+3} \right) \end{split}$$

Ji $L_{5,i}$ est la i colonne de L_{5} nous ayons $\beta_{i} = \begin{bmatrix} J_{5} & J_{4} & J_{5} \end{bmatrix} \begin{bmatrix} L_{5,i} \end{bmatrix} \quad \beta_{i} = \begin{bmatrix} \frac{5}{5} & \frac{5}{5} & \frac{5}{4} & \frac{5}{5} \end{bmatrix}_{k} \quad \beta_{k}^{i}$

Joit $\beta_0 = \beta_5 = \frac{11}{1440}$; $\beta_1 = \beta_4 = \frac{-93}{1440}$; $\beta_2 = \beta_3 = \frac{802}{1440}$ It dans le cas où $f(\infty)$ est connue en dehors de l'intervalle d'in-

-tegration par exemple.

 $\int_{a}^{b} f(x) dx = h \left\{ D_{2} f_{-2} + D_{-1} f_{-1} + D_{0} f_{0} + D_{1} f_{1} + D_{2} f_{2} + f_{3} + \dots + f_{i} + \dots + f_{n-3} + D_{n-2} f_{n-2} + D_{n-4} f_{n-4} + D_{n} f_{n} + D_{n+1} f_{n+1} + \int_{n+2} f_{n+2} f_{n+2} f_{n+2} f_{n+2} \right\}$

at $D_i = \beta_0 + \beta_4 + \beta_2 + \beta_3 + \beta_4 + \beta_5 = 1$ $i = 3, 4 \dots n-3$.

Méthode composite généralisée. Soit à calculer l'intégrale $I = \int_{-\infty}^{\infty} k(x) f(x) dx$. Nous allons refaire le même raisonnement que précédemment en respectant l'écriture mathématique du noyau & (x).

Partageons l'intervalle [a, b] en n intervalles partiels égaux à h $(h = \frac{1}{2} - a)$.

Noit $[x_{i+1} = a + (i+1)h]$ un de cer intervaller.

Pour calculer l'intégrale partielle Δ_i S sur cet intervalle nous savons que la fonction f(x) est donnée aux points x_{i-p} ; ... x_i ; x_{i+1} ; ... x_{i+p+1} ; par ses valeurs f_{i-p} ; ... f_{i+p+1} ; f_{i+p+1} ; fait correspondre l'intervalle [a, b] d'intervalle [a, b] d'inte $P_{2p+1}(t) = \left| \frac{1}{h} \cdot \frac{t^{\frac{1}{2}}}{h^{\frac{1}{2}}} \cdot \frac{t^{\frac{2p+1}{2}}}{h^{\frac{2p+1}{2}}} \right| \left| \frac{1}{h^{\frac{1}{2}}} \cdot \frac{t^{\frac{2p+1}{2}}}{h^{\frac{2p+1}{2}}} \right| \left| \frac{1}{h^{\frac{1}{2}}} \cdot \frac{t^{\frac{2p+1}{2}}}{h^{\frac{2p+1}{2}}} \right| \left| \frac{1}{h^{\frac{2p+1}{2}}} \cdot \frac{t^{\frac{2p+1}{2}}}{h^{\frac{2p+1}{2}}} \right| \left|$ grâce à ce changement de variable nous voyons qu'intervient la matrice régulière de LAGRANGE. $\Delta_i S = \int_{x_i}^{x_{i+1}} k(x) f(x) dx$ Comme nous aurons ainsi $\Delta_i S = \int_{h R}^{(p+1)^k} k(t+x_{i-p}) f(t+x_{i-p}) dt$ P_{2p+1} (t) défini ci-dessus $\Delta_i S = \int_{ph}^{(p+1)k} k(t+x_{i-p}) P_{2p+1}$ (t) dt. Now pouvons $\Delta_i S \simeq |J_0^i J_1^i J_2^i ... J_j^i ... J_{2p+1}^i || L_{2p+1} || \{ \} \}$ ou $\Lambda_i S \simeq \beta_1^i \beta_2^i \beta_2^i \dots \beta_r^i \beta_{r+1}^i \dots \beta_{r+r}^i$ $\left| \left[\beta_{\circ}^{i} \quad \beta_{1}^{i} \dots \beta_{p}^{i} \quad \beta_{p+1}^{i} \dots \beta_{2p+1}^{i} \right] = \left| J_{\circ}^{i} \quad J_{A}^{i} \dots J_{2p+1}^{i} \right| \left| L_{2p+1} \right|$

			10			
	-Suppo	ou encore $\Delta_i S = \beta$ sons la fonction fles voleurs f_{-1} ,	i fi-p+···+βp (connue er	fit Bit fit to the deline	intervalle d'in	h+1 nléaration
	prenant	les voleurs for,	f-n+1 1 f-1	la la mila	1 la land	. f . f
	dux 1101	nts a - 11h. a - (n+1	1) 6	a ath	el b b.l	1 1 1 1 1 1 1 1 1 1 1 1 1 1 1 1 1 1 1
	N N	our a-ph, a-(p+1	$I = \sum_{i=1}^{n-1} \Delta_i$	S)-π, D, D+π _j	אלין די און די מילים ליים ליים ליים ליים
	ave	c \(\Delta S \beta \frac{\beta}{\beta} \frac{\beta}{\be	β + + β β +	····+ β°···· β····	-	
		$\Delta_{1}S_{z}$	30 f-p+1++	β_{1}^{\prime} β_{1} + \cdots +	B2p+1 fp+2	
		$\Delta_i S =$	Bi fi-1	1+ + Bi fi+	+ Bi	fi+p+1
	<i>(</i> * 1)	$\Delta_{n-1} S =$		$\beta_{\circ}^{n-1}\int_{n-p-1}+\dots$	$+\beta_{p}^{n-1}\int_{n-1}^{\infty}+\ldots$	+ B2p+1 fn+p
		fairant la romme	I = &= n+p }			
avac/	8-p =					B°
- /	v					
	0_1+1=					$-\frac{\beta_1^0}{2} + \frac{\beta_2^1}{2}$
	Y-1 =			β_{p-1}° +	$\dots + \beta_2^{n-3} +$	$\beta_1^{h-2} + \beta_0^{h-4}$
	Y ₀ =		B	$+\beta_{p-1}^{1}+\ldots$	+ $\beta_2^{\eta-2}$ +	B1-1+ B1
	%		B + B1 .	$+\beta_{1-1}^{2}+\ldots$	· · · · · + 3 +-1+	B# + B#+A
	γ _i = β ^{i-η-,}	1 + (3 i - 1) + + (3 i -	$\frac{2}{1+2} + \beta_{p+1}^{i-1} + \beta_p^{i}$	+ Bi+A + Bi+2 +	$\beta_2^{\overline{i+p-1}}$	2 pi+p-1 pi+p
en skippy v	8 n-1 = B n-p-	$^{2} + \beta_{2\eta}^{n-\eta-1} + \dots + \beta_{\eta}^{n-\eta-1}$	$\frac{3}{2} + \beta_{n+4}^{n-2} + \beta_{n-4}^{n-4}$	l	Ξ	
	$\mathcal{T}_n = \beta^{n-n-1}$	$+\beta^{n-\eta}+\ldots+\beta^n$	$\frac{-2}{3} + 3^{m-1}$			
	$\mathcal{Y}_{n+1} = \beta_{2n+1}^{n-1}$	$+\beta_{2p}^{n-p}+\dots+\beta_{p}^{n}$ $+\beta_{2p}^{n-p+1}+\dots+\beta_{p}^{n}$	+2 1 + 1 + 1 + 1 + 2 + 2 + 2 + 2 + 2 + 2 +			
/	$y_{n+h} = \beta_{2+1}^{n-1}$				· — — — —	
	-Si la	fonction $f(x)$ n'e ternolerons $f(x)$ n	et pas connue	en dehors de	es limites d'	intégration,

nous interpolerons f(x) par des polynômes d'ordres moins élevés

Pt (∞) (t < 2p + 1) sur les premiers (t < 2p - 1) et les derniers (t > n - 2p)

intervalles partiels d'intégration et par le polynôme d'ordre 2p + 1 sur les

intervalles partiels centraux ($2p - 1 \le t \le n - 2p$).

Le principe de la méthode est conservé. Jeules, comme dans la

méthode composite ordinaire, changent les valeurs des premiers et des

derniers coefficients des fi.

Les l'isont alors remplacés par des l'i, ceux-ci en nombre in-férieur aux précédents, pour un même pas h', puisque la fonction n'est définie que sur les n points compris entre a et b.

La valeur de l'intégrale devient alors:

 $\int_{0}^{t} k(x) f(x) dx = \sum_{i=0}^{n} \Gamma_{i} f_{i}$

Ji la fonction f(x) n'est pas aussi connue en dehors des limites d'intégration que ce que nous l'avions supposé dans le cas général, nous ferons de même, en utilisant au maximum notre connaissance

1) In est le nombre de points où $f(\infty)$ est donnée, donc auxi le nombre des Γ_i possibles; n+1 < m < n + 2p + 1; nous aurons.

 $\iint_{\mathbb{R}} k(x) f(x) dx = \sum_{i} \prod_{i} f_{i} \quad \text{i prenant } m \text{ valeurs.}$

Hinsi supposons que la fonction ne soit par connue aux points a-ph; a-(p-1)R; et a+(n+p-1)R; a+(n+p)R. Jci m=n+2p-3

Pour calculer D. S et An-1 S nous interpolons f(x) par le polynôme et Δ_1 S et Δ_{n-2} S nous interpolons $f(\infty)$ par le polynôme $P_{2n}(t)$.

En effectiont le changement de variable:

pour les deux premières intégrales partielles $t = \infty - (i-\mu+2)h$ i = 0 ou n-1 faisant correspondre l'intervalle $[0; (2\mu-1)h]$ \bar{a} l'intervalle $[\infty_{i-\mu+2}; \infty_{i+\mu+1}]$ et pour les deux autres $t = \infty - (i-\mu+1)h$ i=1 ou n-2 fairant correspondre l'intervalle [0; 2ph] à l'intervalle 201-++1; 201+++1

alors: $P_{2p-1}(t) = \left| 1 \frac{t}{h} \dots \frac{t^{j}}{h^{j}} \dots \frac{t^{2p-1}}{h^{2p-1}} \right| \left| L_{2p-1} \right| \left\{ f \right\} \text{ avec} \left\{ f \right\} = \left| \begin{cases} f_{i-p+2} \\ f_{i+p+1} \end{cases} \right|$ $P_{2h}(t) = \left| \frac{1 t}{h} \cdot \frac{t \delta}{h \delta} \cdot \frac{t^{2h}}{h^{2h}} \right| \left| \frac{t^{2h}}{h^{2h}} \right| \left| \frac{f}{h^{2h}} \right| \left$

et pour i = 0 et n-1 $\Delta_{i}S = \int_{\eta}^{(n+1)^{R}} dx \left(t + \infty_{i-\eta+2}\right) P_{2\eta-1}(t) dt$ pour i = 1 et n-2 $\Delta_{i}S = \int_{\eta}^{(n+1)^{R}} dx \left(t + \infty_{i-\eta+1}\right) P_{2\eta}(t) dt$ pour $2 \le i \le n-3$ $\Delta_{i}S = \int_{\eta}^{(n+1)^{R}} dx \left(t + \infty_{i-\eta}\right) P_{2\eta+1}(t) dt$

le calcul se poursuit de la même manière que précédemment en respec-tant ces changements de variables dans le calcul des intégrales J. Nous obtenons des coefficients différents que les précédents pour $\triangle_{o}S_{j}^{\top}\triangle_{A}S_{j}^{\top}\Delta_{n-2}S_{j}^{\top}\triangle_{n-4}S.$

$$\begin{cases} \Delta_{o} S = \alpha_{2}^{o} f_{-p+2} + \dots + \alpha_{p}^{o} f_{o} + \dots + \alpha_{2p+1}^{o} f_{p+1} \\ \Delta_{1} S = \alpha_{1}^{o} f_{-p+2} + \dots + \alpha_{p}^{o} f_{1} + \dots + \alpha_{2p+1}^{o} f_{p+2} \\ \overline{\Delta_{1} S} = \overline{\beta_{0}^{o} f_{1-p} + \dots \beta_{p}^{o} f_{1} + \dots + \beta_{2p+1}^{o} f_{p+1}^{o} f_{1-p+1}} \\ \overline{\Delta_{n-2} S} = \overline{\beta_{0}^{o} f_{1-p} + \dots + \beta_{p}^{o} f_{1-p+1}^{o} f_{1-p+1}^{o$$

It étant la somme des coefficients de fx dans les intégrales partielles $\Delta_i S$.

Nous ne pouvons donc pas à la main conduire jusqu'au bout le calcul numérique des Vi. Par contre, il se prête bien au passage sur calculatrice, se faisant pas à pas, pour chaque valeur de i nous calculons les 2p+2 valeurs des J; puis les 2p+2 valeurs des B; correspondants, une fois que nous dvons tous les Bi, i=0;1;...

1-2; 1-1; les V; en sont des combinaisons simples.

De plus, le noyau & (x) étant fixé, les coefficients V; obtenus, ceux-ci sont indépendants de la fonction f (x) donc valables pour des fonctions quelconques, sufisamment régulières.

dont on partage l'intervalle d'intégration [a, b] voit fixe.

Alors $\int_{0}^{\beta} k(x) f(x) dx = \sum_{i=-2n+4}^{n+2n-4} \delta_{i} f_{i}$

3 ième (HAPITRE -

Application de la méthode composite généralisée ou calcul de la Transformée de FouriER d'une fonction numérique

Intérêt de ce car particulier.

Nous avons été conduit à envisager le cas d'une transformée de Fourier en étudiant un problème physique particulier:
la connaissance de la répartition spectrale de l'énergie donne des
renseignements sur la structure des corps cristallisés. Or cette
répartition d'énergie est la transformée de Fourier d'une courbe
obtenue par interféromètrie; et il est plus facile et plus rapide de
déterminer expérimentalement la courbe interférométrique que la
courbe spectrale; il est donc intéressant pour le physicien de posséder un procédé de calcul numérique permettant de passer de la
première à la seconde, s'il désire ensuite étudier la structure des
corps cristallisés.

<u>Définition</u>

notée $\mathcal{F}_f(y)$ ou f(y) l'intégrale "lorsqu'elle a un sens":

$$\int \int \int (y) = \int (y) = \int_{-\infty}^{+\infty} e^{-2\pi i xy} \int (x) dx$$

notée $\overline{\mathcal{F}}$ f(y) l'intégrale: $\overline{\mathcal{F}} f(y) = \int_{-\infty}^{+\infty} e^{+2\pi i xy} f(x) dx$

Fourier for que la fonction f(x) est paire la transformée de Fourier f(y) est paire et se réduit à $2\int_{-\infty}^{\infty} \cos 2\pi xy f(x) dx$ et est impaire, f(y) se réduit à $2\int_{-\infty}^{\infty} \sin 2\pi xy f(x) dx$ et est impaire.

Lorsqu'il s'agit de la répartition spectrale de l'énergie, la fonction qui nous est donnée est paire.

Théorème d'inversion de Fourier. In démontre que l'application Fret un isomorphisme de 1 sur lui même, d'inverse l'application Front Française de 1 sur lui même, d'inverse l'application Front Française de 1 sur lui même d'inverse l'application Française d'inversion de 1 sur lui même d'inverse l'application Française d'inversion de 1 sur lui même d'inverse l'application Française d'inverse d'inverse de 1 sur lui même d'inverse l'application Française de 1 sur lui même de 1 sur lui même d'inverse l'application Française de 1 sur lui même de 1 sur lui mêm

soit : si φ appartient à J, ce qui entraîne que Ψ , Ψ = $\mathcal{F}\varphi$, appartient à J, alors nous avons φ = $\mathcal{F}\Psi$, la solution étant unique.

las d'une fonction numérique.

Une fonction numérique, même si nous la prenons telle que x f(x) tende vers zèro lorsque |x| tend vers l'infini, est toujours définie par un nombre fini de termes, par une table de valeurs données sur un intervalle qui ne peut pas tendre vers l'infini. Nous ne nouvons donc prendre pour intervalle sur x, qu'un intervalle réduit [-L; +L] et non l'intervalle] -\infty; +\infty[.

Nous supposerons alors la fonction f(x) comme appartenant à l'espace vectoriel D, ensemble des fonctions indéfiniment différentiables à support compact, lui-même contenu dons s'el dense dons celui-ci.

Donc la fonction f(x) sera définie sur [-L, +L] nulle en dehors et tendant vers zèro lorsque |x| tend vers L.

Nous avons choisi un intervalle [-L;+L] et non un intervalle quelconque [a,b], parce que nous n'étudierons la transformée de FOURIER que sous les deux aspects où elle peut se réduire:

— La fonction $f(\infty)$ est paire, If $(y) = 2 \int_{-\infty}^{\infty} \cos 2\pi \exp f(x) dx$ approchée par $2 \int_{-\infty}^{L} \cos 2\pi \exp f(\infty) dx$ $\int_{-\infty}^{\infty} |f(\infty)| \tan x = 1$ cos $2\pi \exp f(\infty)$ tend vers zéro lors que

— La fonction $f(\infty)$ est impaire, $\Im f(y) = 2 \int_{\infty}^{\infty} \sin 2\pi \cos f(\infty) d\infty$ approchée par $2 \int_{0}^{\infty} \sin 2\pi \cos f(\infty) d\infty$ dans les emêmes conditions.

Dans le cas général, si la fonction f(x) est quelconque nous pouvons la décomposer et la mettre sous la forme:

$$f(x) = f_1(x) + f_2(x)$$

$$f_1(x), \text{ fonction paire} \qquad f_1(x) = \frac{1}{2} \left[f(x) + f(-x) \right].$$

$$f_2(x), \text{ fonction impaire } f_2(x) = \frac{1}{2} \left[f(x) - f(-x) \right].$$

lans le cas du problème physique, la fonction f(x) est donnée par enregistrement graphique: La valeur de L correspondra alors aux limites de capacité de l'appareil d'enregistrement, et auxi à la limite en dehors de laquelle le physicien peut admettre sans erreur notable que la fonction f(x) est nulle.

Application de la méthode composite à l'intégrale de FouriER.

Joit à calculer les transformées de Fourier $\hat{f}(y) = \int_{-\infty}^{\infty} f(x) \cos 2\pi xy \, dx$ approchées respectivement $\hat{f}(y) = \int_{-\infty}^{\infty} f(x) \cos 2\pi xy \, dx$ ou $\hat{g}(y) = \int_{-\infty}^{\infty} g(x) \sin 2\pi xy \, dx$ par les expressions : $\hat{g}(y) = \int_{-\infty}^{\infty} g(x) \sin 2\pi xy \, dx$

La fonction transformée de Fourier est une fonction continue en y, celle variable y pouvant tendre vers l'infini. Comme précé. demment, en calcul numérique, nous sommes obligés de couper l'intervalle de définition de y, de le réduire de]-∞; +∞[à un intervalle [-M; +M]; M symétrique de -M par rapport à zèro, puisque la fonction étant paire (ou impaire), sa transformée l'est également. Nous introduisons ainsi une nouvelle limitation dans les calculs;

Nous introdutsons ainsi une nouvelle limitation dans les calculs; en effet, bien que l'hypothèse selon laquelle la fonction f(x) appartient à l'éspace D ait été faite, la transformée de rourier de célle jonction n'apartient absolument pas, dans le cas général à l'espace D, mais bien seulement à l'espace J.

Nous interpolerons d'abord les fonctions f(x) et g(x) par un polynôme de degré $\mathbf{3}$: $P_{\mathbf{3}}(\infty)$ (p de la théorie générale = 1), l'intervalle [0; L] étant divisé en n'intervalles partiels de pas h (L = nh).

(L=nh).
Nous diviserons en même temps en m parties égales ou non, l'intervalle [0; M] et nous calculerons les coefficients T; qui dépendent de y, en chacun des points ainsi trouvés y; j=0,1...m.
En posant T; (y;)=C! pour le cas d'une fonction paire et di pour celui d'une fonction impaire, la transformée de Fourier

Join Celli a the forecast intpane, in the series for alors definite par les valeurs $\hat{f}_j = \hat{f}(y_j) = 2\sum_{i=-1}^{n+1} \mathcal{X}_i(y_j) \hat{f}_i$.

Join $\{\hat{f}\} = 2|\mathcal{C}|\{\hat{f}\}\}$ avec $\{\hat{f}\} = \hat{f}_i$ et $\{\hat{f}\} = \hat{f}_i$

ou $\left\{\hat{g}\right\} = 2\left|\mathcal{L}\right|\left\{g\right\}$ avec $\left\{\hat{g}\right\} = \begin{vmatrix} \hat{g}_{0} \\ \hat{g}_{0} \end{vmatrix}$ et $\left\{g\right\} = \begin{vmatrix} g_{0} \\ g_{0} \end{vmatrix}$

Calcul der ci et der di: pour un point y, nour avons.

$$\Delta_{i} S(y_{j}) = \left| J_{o}^{i}(y_{j}) J_{1}^{i}(y_{j}) J_{2}^{i}(y_{j}) J_{3}^{i}(y_{j}) \right| \left| L_{3} \right| \left| \begin{cases} f_{i-1} \\ f_{i+1} \\ f_{i+2} \end{cases} \right| \text{ou} \left| \beta_{o}^{i}(y_{j}) \beta_{1}^{i}(y_{j}) \beta_{2}^{i}(y_{j}) \beta_{3}^{i}(y_{j}) \right| \left| \begin{cases} f_{i-1} \\ f_{i+1} \\ f_{i+2} \end{cases} \right|$$

avec $\int_{h}^{1} (y_{j}) = \int_{h}^{2h} \cos 2\pi y_{j} (t + x_{i-1}) dt$; $\int_{1}^{1} (y_{j}) = \int_{h}^{2h} \frac{t}{h} \cos 2\pi y_{j} (t + x_{i-1}) dt$. $\int_{1}^{1} (y_{j}) = \int_{h}^{2h} \frac{t^{2}}{h^{2}} \cos 2\pi y_{j} (t + x_{i-1}) dt$; $\int_{3}^{1} (y_{j}) = \int_{h}^{2h} \frac{t^{3}}{h^{3}} \cos 2\pi y_{j} (t + x_{i-1}) dt$ dans le cas où la fonction f(x) est paire.

$$et \ \Delta_{i} \ S(y_{j}) = \left| \overrightarrow{J_{o}^{i}(y_{j})} \overrightarrow{J_{i}^{i}(y_{j})} \overrightarrow{J_{i}^{i}(y_{j})} \overrightarrow{J_{i}^{i}(y_{j})} \overrightarrow{J_{i}^{i}(y_{j})} \overrightarrow{J_{i}^{i}(y_{j})} \right| L_{s} \left| \begin{array}{c} g_{i-1} \\ g_{i} \\ g_{i+1} \\ g_{i+2} \end{array} \right| ou \left| \overrightarrow{\beta_{o}^{i}(y_{j})} \overrightarrow{\beta_{i}^{i}(y_{j})} \overrightarrow{\beta_{i}^{i}(y_{j})} \overrightarrow{\beta_{i}^{i}(y_{j})} \overrightarrow{\beta_{i}^{i}(y_{j})} \overrightarrow{\beta_{i}^{i}(y_{j})} \overrightarrow{\beta_{i}^{i}(y_{j})} \right| g_{i+1} \\ g_{i+2} \\$$

avec $\int_{h}^{J_{i}^{i}} (y_{j}) = \int_{h}^{2h} \sin 2\pi y_{j} (t + x_{i-4}) dt; \quad \overline{J_{i}^{i}} (y_{j}) = \int_{h}^{2h} \frac{t}{h} \sin 2\pi y_{j} (t + x_{i-4}) dt.$ $\int_{2}^{J_{i}^{i}} (y_{j}) = \int_{h}^{2h} \frac{t^{2}}{h^{2}} \sin 2\pi y_{j} (t + x_{i-4}) dt; \quad \overline{J_{3}^{i}} (y_{j}) = \int_{h}^{2h} \frac{t^{3}}{h^{3}} \sin 2\pi y_{j} (t + x_{i-4}) dt$ $dons \ le \ cos \ où \ la \ fonction \ f(x) \ est \ impoire.$

 $\frac{P_{OSONS}}{P_{OSONS}} = 2 \pi y_{\hat{j}} = 3 (\hat{j})$ 3 dépend donc de j, mais nous le noterons simplement 3 pour simplifier l'écriture des calculs corzh = a corzh = c corzh = r sin zh = b /in 23h = d /in23h-/in3h=8 $J_{o}^{i} = \int_{h}^{2h} \cos 3 \left(t + \infty_{i-1} \right) dt = \int \frac{\sin 3 \left(t + \infty_{i-1} \right)}{3} \bigg|_{L}^{2h} = \frac{\sin 3 \left(2h + \infty_{i-1} \right) - \sin 3 \left(h + \infty_{i-1} \right)}{3}$ $= \frac{1}{3} \left[\sin 23h \cos 3x_{i-4} + \cos 23h \sin 3x_{i-4} - \sin 3h \cos 3x_{i-4} - \cos 3h \right]$ $J_o^i = \frac{1}{3} \left(S \cos 3 \infty_{i-4} + r \sin 3 \infty_{i-4} \right)$ $\overline{J_{o}^{i}} = \int_{h}^{2h} \sin 3 \left(t + x_{i-1} \right) dt = \left[-\frac{\cos 3 \left(t + x_{i-1} \right)}{3} \right]_{i}^{2h} = -\frac{\cos 3 \left(2h + x_{i-1} \right) - \cos 3 \left(h + x_{i-1} \right)}{3}$ $=-\frac{1}{3}\left[\cos 2zh\cos z\,x_{i-1}-\sin 2zh\sin z\,x_{i-1}-\cos zh\cos z\,x_{i-1}+\sin zh\right]$ $\left| \overline{J_{o}^{i}} = \frac{1}{3} \left(-r \cos 3 x_{i-1} + \delta \sin 3 x_{i-4} \right) \right|$ $J_{1}^{i} = \frac{1}{h} \int_{h}^{2h} t \cos z \left(t + x_{i-1} \right) dt = \frac{1}{h} \left[t \frac{\sin z \left(t + x_{i-1} \right)}{3} \right]_{h}^{2h} - \frac{1}{3h} \int_{h}^{2h} \sin z \left(t + x_{i-1} \right) dt$ $= \frac{1}{3} \left[\sin 3 \left(2h + x_{i-1} \right) - \sin 3 \left(h + x_{i-1} \right) \right] + \frac{1}{3} \sin 3 \left(2h + x_{i-1} \right) - \frac{1}{3h} \overline{J}_{o}^{i}$ = $\frac{1}{3}$ (sin 2zh cosz x_{i-1} + cos2zh sinz x_{i-1}) + $J_o^i - \frac{1}{3h} J_o^i$ $\int_{1}^{L} = \frac{1}{3} \left[\cos z \, x_{i-1} \left(d + \delta + \frac{r}{3h} \right) + \sin z \, x_{i-1} \left(c + r - \frac{\delta}{3h} \right) \right]$ $\overline{J_{i}^{i}} = \frac{1}{h} \int_{h}^{2h} t \sin 3 \left(t + x_{i-1} \right) dt = \frac{1}{h} \left[-t \frac{\cos 3 \left(t + x_{i-1} \right)}{2} \right]_{1}^{2h} + \frac{1}{3h} \int_{h}^{2h} \cos 3 \left(t + x_{i-1} \right) dt$ $= -\frac{1}{3} \left[\cos 3 \left(2h + x_{i-1} \right) - \cos 3 \left(h + x_{i-1} \right) \right] - \frac{1}{3} \cos 3 \left(2h + x_{i-1} \right) + \frac{1}{3h} \int_{0}^{1} dt$ $= -\frac{1}{3} \left(\cos 2z h \cos z \, x_{i-1} - \sin 2z h \sin z \, x_{i-1} \right) + J_o^i + \frac{1}{3h} J_o^i$ $J_{4}^{i} = \frac{1}{3} \left[\cos 3 \, \alpha_{i-4} \left(-c - r + \frac{5}{3h} \right) + \sin 3 \, \alpha_{i-4} \left(d + 5 + \frac{10}{3h} \right) \right]$

$$\begin{split} & J_{2}^{i} = \frac{1}{h^{2}} \int_{h}^{2h} t^{2} \cos z \, \left(t + x_{i-1} \right) dt = \frac{1}{h^{2}} \left[t^{2} \frac{\sin z \left(t + x_{i-1} \right)}{3} \right]_{h}^{2h} - \frac{2}{3h^{2}} \int_{h}^{2h} t \sin z \left(t + x_{i-1} \right) dt \, . \\ & = \frac{3}{3} \left[\sin z \left(2h + x_{i-1} \right) \right] + J_{o}^{i} - \frac{2}{3h} J_{i}^{i} \, . \\ & = \frac{3}{3} \left(\sin 2z h \cos z x_{i-1} + \cos 2z h \sin z x_{i-1} \right) + J_{o}^{i} - \frac{2}{3h} J_{i}^{i} \, . \end{split}$$

$$J_{2}^{i} = \frac{1}{3} \left[\cos 3 \, \alpha_{i-1} \left\{ 3d + \left(1 - \frac{2}{3^{2}h^{2}} \right) 3 + \frac{2(r+c)}{3h} \right\} + \sin 3 \, \alpha_{i-1} \left\{ 3c + \left(1 - \frac{2}{3^{2}h^{2}} \right) r - \frac{2(3+d)}{3h} \right\} \right]$$

$$\begin{split} & \overrightarrow{J_{2}^{i}} = \frac{1}{h^{2}} \int_{h}^{2h} t^{2} \sin 3 \left(t + x_{i-1} \right) dt = \frac{1}{h^{2}} \left[-t^{2} \frac{\cos 3 \left(t + x_{i-1} \right)}{3} \right]_{h}^{2h} + \frac{2}{3h^{2}} \int_{h}^{2h} t \cos 3 \left(t + x_{i-1} \right) dt. \\ & = -\frac{3}{3} \left[\cos 3 \left(2h + x_{i-1} \right) \right] + \overrightarrow{J_{0}^{i}} + \frac{2}{3h} \overrightarrow{J_{1}^{i}}. \\ & = -\frac{3}{3} \left(\cos 23h \cos 3x_{i-1} - \sin 23h \sin 3x_{i-1} \right) + \overrightarrow{J_{0}^{i}} + \frac{2}{3h} \overrightarrow{J_{1}^{i}}. \end{split}$$

$$\overline{J_{2}^{i}} = \frac{1}{3} \left[\cos 3 x_{i-1} \left\{ -3c - \left(1 - \frac{2}{3^{2}h^{2}}\right)r + \frac{2(3+d)}{3^{h}} \right\} + \sin 3 x_{i-1} \left\{ 3d + \left(1 - \frac{2}{3^{2}h^{2}}\right)s + \frac{2(r+c)}{3^{h}} \right\} \right]$$

$$\begin{split} J_{3}^{i} &= \frac{1}{h^{3}} \int_{h}^{2h} \dot{t}^{3} \cos 3 \left(t + x_{i-4} \right) dt = \frac{1}{h^{3}} \left[t^{3} \frac{\sin 3 \left(t + x_{i-4} \right)}{3} \right]_{h}^{2h} - \frac{3}{3h^{3}} \int_{h}^{2h} \dot{t}^{2} \sin 3 \left(t + x_{i-4} \right) dt \,. \\ &= \frac{7}{3} \left[\sin 2 3 h \cos 3 x_{i-4} + \sin 3 x_{i-4} \cos 2 3 h \right] + J_{o}^{i} - \frac{3}{3h} \frac{1}{J_{o}^{i}} \\ &= \frac{1}{3} \left[\cos 3 x_{i-4} \left\{ 7d + \delta + \frac{3}{3h} \left(3c + \left(1 - \frac{2}{3^{2}h^{2}} \right) r - \frac{2 \left(\delta + d \right)}{3h} \right) \right\} \\ &+ \sin 3 x_{i-4} \left\{ 7c + r - \frac{3}{3h} \left(3d + \left(1 - \frac{2}{3^{2}h^{2}} \right) \delta + \frac{2 \left(r + c \right)}{3h} \right) \right\} \right] \end{split}$$

$$\begin{split} J_{3}^{i} &= \frac{1}{3} \left[\cos 3 \, x_{i-A} \left\{ \delta \left(1 - \frac{6}{3^{2}h^{2}} \right) + d \left(7 - \frac{6}{3^{2}h^{2}} \right) + \frac{1}{3h} \left(9c + 3r \left(1 - \frac{2}{3^{2}h^{2}} \right) \right) \right\} \\ &+ r \ln 3 \, x_{i-A} \left\{ r \left(1 - \frac{6}{3^{2}h^{2}} \right) + c \left(7 - \frac{6}{3^{2}h^{2}} \right) - \frac{1}{3h} \left(9d + 3\delta \left(1 - \frac{2}{3^{2}h^{2}} \right) \right) \right\} \\ J_{3}^{i} &= \frac{1}{h^{3}} \int_{h}^{2h} t^{3} \sin 3 \left(t + x_{i-A} \right) dt = \frac{1}{h^{3}} \left[-t^{3} \frac{\cos 3 \left(t + x_{i-A} \right)}{3} \right]_{h}^{2h} + \frac{3}{3h^{3}} \int_{h}^{2h} t^{2} \cos 3 \left(t + x_{i-A} \right) dt . \\ &= -\frac{7}{3} \left[\cos 2 3h \cos 3 x_{i-A} - r \sin 2 3h r \sin 3 x_{i-A} \right] + J_{0}^{i} + \frac{3}{3h} J_{2}^{i} . \\ &= \frac{1}{3} \left[\cos 3 x_{i-A} \left\{ -7e - r + \frac{3}{3h} \left(3d + \left(1 - \frac{2}{3^{2}h^{2}} \right) \delta + \frac{2(r + c)}{3h} \right) \right\} \\ &+ r \ln 3 x_{i-A} \left\{ 7d + \delta + \frac{3}{3h} \left(3c + \left(1 - \frac{2}{3^{2}h^{2}} \right) r - \frac{2(\delta + d)}{3h} \right) \right\} \right] \end{split}$$

$$\begin{split} \overline{J}_{3}^{i} &= \frac{1}{3} \left[\cos 3 \alpha_{i-4} \left\{ -r \left(1 - \frac{6}{3^{2}h^{2}} \right) - c \left(7 - \frac{6}{3^{2}h^{2}} \right) + \frac{1}{3h} \left(9d + 3 \delta \left(1 - \frac{2}{3^{2}h^{2}} \right) \right) \right\} \\ &+ \sin 3 \alpha_{i-4} \left\{ \delta \left(1 - \frac{6}{3^{2}h^{2}} \right) + d \left(7 - \frac{6}{3^{2}h^{2}} \right) + \frac{1}{3h} \left(9c + 3r \left(1 - \frac{2}{3^{2}h^{2}} \right) \right) \right\} \end{split}$$

Propriétés des Ji

Ji = A. cos
$$z x_{i-A} + B$$
. sin $z x_{i-A}$

Ji = A. cos $z x_{i-A} + B$, sin $z x_{i-A}$

Ji = A. cos $z x_{i-A} + B$, sin $z x_{i-A}$

Ji = A. cos $z x_{i-A} + B$, sin $z x_{i-A}$

Ji = A. cos $z x_{i-A} + B$, sin $z x_{i-A}$

Ji = A. cos $z x_{i-A} + B$, sin $z x_{i-A}$

alors
$$\begin{cases} \overline{J_{o}^{i}} = -B_{o} \cos z \, x_{i-1} + A_{o} \sin z \, x_{i-1} \\ \overline{J_{d}^{i}} = -B_{d} \cos z \, x_{i-1} + A_{d} \sin z \, x_{i-1} \\ \overline{J_{d}^{i}} = -B_{d} \cos z \, x_{i-1} + A_{d} \sin z \, x_{i-1} \\ \overline{J_{d}^{i}} = -B_{d} \cos z \, x_{i-1} + A_{d} \sin z \, x_{i-1} \\ \overline{J_{d}^{i}} = -B_{d} \cos z \, x_{i-1} + A_{d} \sin z \, x_{i-1} \end{cases} et \begin{cases} \left(J_{o}^{i}\right)^{2} + \left(\overline{J_{d}^{i}}\right)^{2} = \left(A_{o}\right)^{2} + \left(B_{o}\right)^{2} = h \\ \left(J_{d}^{i}\right)^{2} + \left(\overline{J_{d}^{i}}\right)^{2} = \left(A_{d}\right)^{2} + \left(B_{d}\right)^{2} = \frac{3h}{2} \\ \left(J_{d}^{i}\right)^{2} + \left(\overline{J_{d}^{i}}\right)^{2} = \left(A_{d}\right)^{2} + \left(B_{d}\right)^{2} = \frac{7h}{3} \\ \left(J_{d}^{i}\right)^{2} + \left(\overline{J_{d}^{i}}\right)^{2} = \left(A_{d}\right)^{2} + \left(B_{d}\right)^{2} = \frac{15h}{4} \end{cases}$$

Les intégrales Ji étant calculées, pour une valeur de i, les coefficients Bi résultant du produit de deux matrices.

$$\begin{vmatrix} \beta_{0}^{i} & \beta_{1}^{i} & \beta_{2}^{i} & \beta_{3}^{i} \end{vmatrix} = \begin{vmatrix} J_{0}^{i} & J_{1}^{i} & J_{2}^{i} & J_{3}^{i} \end{vmatrix} \begin{vmatrix} 1 & 0 & 0 & 0 \\ -\frac{11}{6} & 3 & -\frac{3}{2} & \frac{1}{3} \\ 1 & -\frac{5}{2} & 2 & -\frac{1}{2} \\ -\frac{1}{6} & \frac{1}{2} & -\frac{1}{2} & \frac{1}{6} \end{vmatrix}$$

Puis ceux·ci calculés pour i=-1;0;...n; n+1, nous en dédui-sons les coefficients.

$$\delta_{i} (y_{j}): \quad \delta_{-1} = \beta_{0}^{\circ}$$

$$\delta_{0} = \beta_{0}^{1} + \beta_{1}^{\circ}$$

$$\delta_{1} = \beta_{0}^{2} + \beta_{1}^{1} + \beta_{2}^{\circ}$$

$$\delta_{2} = \beta_{0}^{3} + \beta_{1}^{2} + \beta_{2}^{4} + \beta_{3}^{\circ}$$

$$\frac{1}{3} = \frac{1}{3} = \frac{1}{$$

qui nous donnent une ligne de la matrice & (ou de la matrice D) $\mathcal{T}_{i}\left(y_{j}\right)=C_{i}^{j}\left(\text{oud}_{i}^{j}\right)$

En faisant varier y, nous obtenons alors tous les termes de & (ou de D)

Un programme a été rédigé pour construire les matrices C et D une foir pour touter avec des données précises pour L, M; n et m.

la durée du calcul dépend uniquement des valeurs de n et de m. Elle croît proportionnellement à la fois à n et à m. Ainsi sur ordinateur I.B.M. 650, il a fallu 4 fois plus de temps en prenant n=m=160 qu'en prenant n=m=80.

Ensuite un autre programme permet de faire le produit des deux matrices |2E| et $\{f\}$ (ou |2E| et $\{g\}$) rapidement quelles que soient les fonctions $\{erg\}$. Il faut trente minutes pour l'exécuter lors que la fonction $\{f(x)\}$ et sa transformée sont définies sur 163 points $\{n = m = 160\}$ temps de lecture compris.

Lalcul d'erreur.

-la première erreur qui s'introduit dans cette méthode provient de ce que nous coupons l'intervalle de définition de la fonction f(x) de $]-\infty$; $+\infty[$ à [-L;+L] et elle est égale à l'intégrale $2\int_{L}^{\infty} f(x) \cos 2\pi xy dx$ (ou à $2\int_{L}^{\infty} g(x) \sin 2\pi xy dx$).

Nous sayons que (cf cours de M.M.P. déjà cité): Plus la fonction f(x) est dérivable (avec des dérivées sommables) et décroissante à l'infini, plus alors sa transformée de Fourier est auxi à la fois décroissante à l'infini et dérivable (avec des dérivées bornées).

En effet nous pouvous écrire: $(2\pi y)^m \hat{f}(y) = \mathcal{F}f^{(m)}$ ce qui entraîne la majoration: $|2\pi y|^m |\hat{f}(y)| \leq \int_{-\infty}^{+\infty} |f^{(m)}x| dx$ $\hat{f}^{(m)}(y) = \mathcal{F}\left[(-2\pi i \infty)^m f(\infty)\right]$

ce qui entraîne la majoration: $|\hat{f}^{(m)}(y)| \leq \int_{-\infty}^{+\infty} (2\pi x)^m f(x) dx$.

Nous avons de même:

 $\int_{L}^{A} \cos 2 \, \pi \, \exp \, f(x) \, dx = \left[\frac{\sin 2 \pi \, \exp \, f(x)}{2 \, \pi \, u} \, f(x) \right]_{L}^{A} - \int_{L}^{A} \frac{\sin 2 \pi \, \exp \, f(x)}{2 \, \pi \, u} \, f(x) \, dx.$

fairons tendre A vers l'infini; lorsque oc tend vers l'infini, $f(\infty)$ tend vers zero, donc le [] auxi. $2\int_{L}^{\infty}\cos 2\pi xy f(x) dx # -2 \frac{\sin 2\pi Ly}{2\pi y} f(L) -2\int_{L}^{\infty} \frac{\sin 2\pi y}{2\pi y} f(x) dx$ Ji nous posons $\mathcal{E} \hat{f}(y)$ (ou \mathcal{E}' pour simplifier), l'erreur ainsi sur la valeur de la transformée: $\mathcal{E}' = 2 \int_{-\infty}^{\infty} \cos 2\pi \cos f(x) dx$, 110U/ avon/:

 $|\pi y| |\mathcal{E}^1| \leq |f(L)| + \int_{\infty}^{\infty} |f'(x)| dx.$

Plus généralement

 $\int_{-\infty}^{A} \cos 2\pi \, xy \, f(x) \, dx = \left[\frac{\sin 2\pi \, xy}{2\pi \, y} - f(x) \right]_{+\infty}^{A} - \int_{-\infty}^{A} \frac{\sin 2\pi \, xy}{2\pi \, y} - f'(x) \, dx$

 $\left[\frac{\sin 2\pi xy}{2\pi y}f(x)\right]_{L}^{A} - \left[\frac{\cos 2\pi xy}{(2\pi y)^{2}} - f'(x)\right]_{L}^{A} - \int_{L}^{A} \frac{\cos 2\pi xy}{(2\pi y)^{2}} f''(x) dx$

en fairant tendre A vers l'infini comme ci-derru

 $\frac{-\frac{\sin 2\pi xy}{2\pi y} - f(L) + \frac{\cos 2\pi xy}{(2\pi y)^2} - f'(L) - \int_{L}^{\infty} \frac{\cos 2\pi xy}{(2\pi y)^2} - f''(x) dx}{\left(2\pi y\right)^2}$ $\frac{|f(L)|}{|2\pi y|} + \frac{|f'(L)|}{(2\pi y)^2} + \int_{L}^{\infty} \frac{|f''(x)|}{(2\pi y)^2} dx$ et ainsi de suite, à l'ordre m

 $|2\pi y|^m \cdot |\frac{\varepsilon^4}{2}| \leq |2\pi y|^{m-4} |f(L)| + |2\pi y|^{m-2} |f'(L)| + ... + |f^{(m-4)}(L)|$ $+\int_{-\infty}^{\infty} |f^{(m)}(x)| dx$

Nous trouverions une majoration analogue en partant de l'intégrale $2 \int_{-\infty}^{+\infty} \sin 2\pi xy f(x) dx$.

lonc plus la fonction f(x) est dérivable et décroissante à l'infini, plus cette première erreur est faible.

Remarquons que cette erreur est plus considérable pour les valeurs de y voisines de zéro que pour les zones moyennes de y. Ce qui nous donne

une majoration pour y.

Ainsi, si nous désirons par exemple | E | inférieur à une valeur donnée E, d'après la 1 ière formule ci-dessus, ceci entraîne

 $|y| \geqslant \frac{1}{\pi \epsilon_0} \left[|f(L)| + \int_{-\infty}^{\infty} |f'(x)| dx \right]$

l'intégrale $\int_{-\infty}^{\infty} \int_{-\infty}^{\infty} \int_{-\infty}^{$

le sont < soit des erreurs de chute. < soit des erreurs dûes à l'approximation de la fonction f(x) par un polynôme $P_{2p+1}(x)$, ici $P_3(x)$. Celte erreur est proportionnelle à la dérivée $(2p+2)^{i \text{ème}}$ de la fonction f(x) et à la puissance $(2p+3)^{i \text{ème}}$ du pas h. (Remarquons que si le poly-nôme d'interpolation $P_n(x)$ de la fonction f(x) était de degré pair (n=2p), celte erreur serait proportionnelle également à la dérivée $(2p+2)^{i \text{ème}}$ de f).

En effet now integrons ce polynôme $P_3(x)$ multiplié par la quantité (cos $2\pi xy$) sur l'intervalle $[x_i; x_{i+1}]$, soit l'intervalle [k; 2k] par changement de variable.

Posons $\Phi(x) = \int_{\mu}^{\infty} f(x) \cos 2\pi \cos dx$, integrale vraie $\mu \in [R, 2h]$; alors $\Phi(\mu) = 0$ Ur l'intervalle [R, 2h] l'integrale $\Phi(\infty)$ est approchée par l'expression. $\sum_{k=0}^{3} R \propto_{k}^{i} f_{k}^{i}$; $R \propto_{k}^{i} = \beta_{k}^{i}$

Nous pouvons donc évaluer l'erreur &;

Mois les « dépendent de i - Essayons d'avoir cependant une évaluation numérique de notre erreur.

| cos 2 T sey | <1; ce qui entraîne $\propto_k^i \leqslant \propto_k$; \propto_k étant les coefficients intervenant dans la méthode composite ordinaire lorsque le noyau $k(\infty)$ est identique à 1 soient $\propto_0 = \propto_3 = -\frac{1}{24}$ (cf η . 7 et 9) $\propto_1 = \propto_2 = \frac{13}{24}$

Ji nous supposons de plus que la fonction f(x) est suffisamment régulière pour que sa dérivée d'ordre 4 aux divers points θ soit majorée par $f^{(4)}$ (\mathbf{z}_i) \mathbf{z}_i appartenant à l'intervalle $[x_i; x_{i+1}]$, nous avons en effectuant les calculs:

$$\begin{split} \left| \mathcal{E}_{i} \right| \leqslant \Re \left\{ \left(\mu \right) \left[1 - 2 \left(\propto_{o} + \propto_{A} \right) \right] + \Re^{3} \int^{n} \left(\mu \right) \left[\frac{1}{24} - \left(-\frac{9}{4} \propto_{o} + \frac{1}{4} \propto_{A} \right) \right] \\ + \Re^{5} \int^{(4)} \left(7_{i} \right) \left[\frac{1}{16 \times 24} + \left| \frac{81}{8 \times 24} \propto_{o} \right| + \left| \frac{1}{8 \times 24} \propto_{A} \right| \right] \\ \text{Où} \quad 1 - 2 \left(\propto_{o} + \propto_{A} \right) = O \\ \frac{1}{24} - \left(-\frac{9}{4} \propto_{o} + \frac{1}{4} \propto_{A} \right) = \frac{1}{24} - \left(-\frac{9}{4 \times 24} + \frac{13}{4 \times 24} \right) = \frac{1}{24} - \frac{4}{4 \times 24} = O \\ \frac{1}{16 \times 24} + \left| \frac{81}{8 \times 24} \propto_{o} \right| + \left| \frac{1}{8 \times 24} \propto_{A} \right| = 0,025 \\ \text{Joit } \mathcal{E}_{i} \leqslant 0,023 \Re^{5} \int^{(4)} \left(7_{i} \right) \end{split}$$

Si nous posons E°, erreur totale commise sur l'intégrale $2\int_{0}^{L} f(x) \cos 2\pi xy \, dx \quad \text{nous avons donc}:$ $\left| \mathcal{E}^{\circ} \right| \leq \sum_{i=-1}^{n+1} 0,046 \, h^{5} \, f^{(4)}(7_{i}) \quad 7_{i} \leq \left[x_{i}, x_{i+1} \right]$

Par contre, si nous approchans la fonction $F(x) = \cos 2\pi xy f(x)$ par un polynôme $P_{2p+1}(x)$; ici $P_3(x)$, nous obtenons une majoration analogue pour $|E^\circ|$ mais où intervient la dérivée $4^{i \in m}$ de F(x).

Par le même calcul, les x_k étant alors strictement égaux aux x_k .

$$\epsilon_{i} \leq \Re^{5} \left[\frac{1}{16 \times 24} F^{(4)}(\theta_{1}) + \left| \frac{81}{8 \times 24} \propto_{o} \right| F^{(4)}(\theta_{2}) + \left| \frac{1}{8 \times 24} \propto_{1} \right| F^{(4)}(\theta_{3}) \right]$$

$$\theta_{1} \in \left[\Re; 2\Re\right] \quad ; \quad \theta_{2} \text{ et } \theta_{3} \in \left[0; 3\Re\right]$$

les coefficients de F; F'; F"; J'annulent comme précédemment.

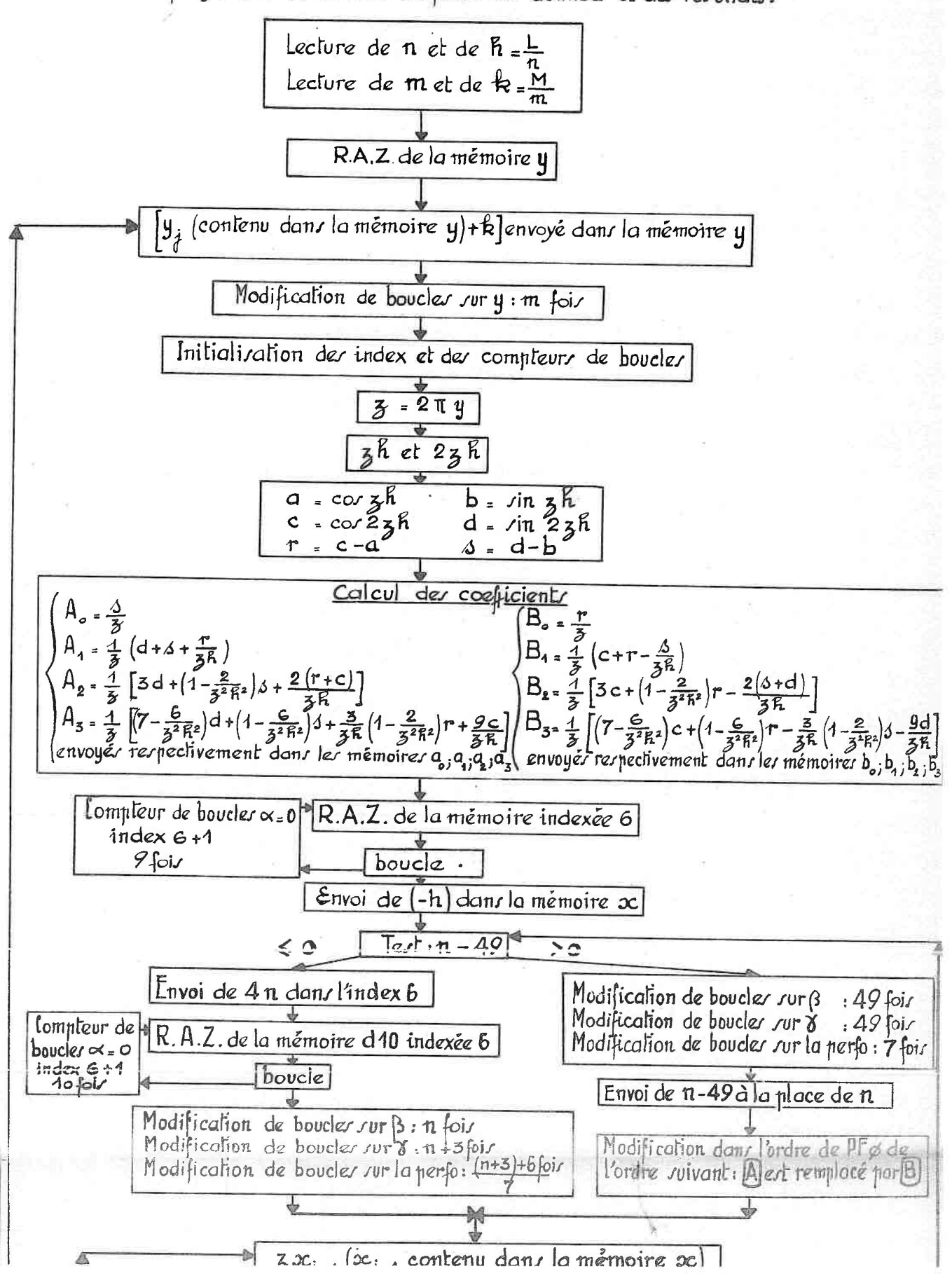
or
$$f^{(4)}(x) = \cos 2\pi xy f^{(4)}(x) - 4(2\pi y) \sin 2\pi xy f''(x) - 6(2\pi y)^2 \cos 2\pi xy f''(x) + 4(2\pi y)^3 \sin 2\pi xy f'(x) + (2\pi y)^4 \cos 2\pi xy f(x).$$

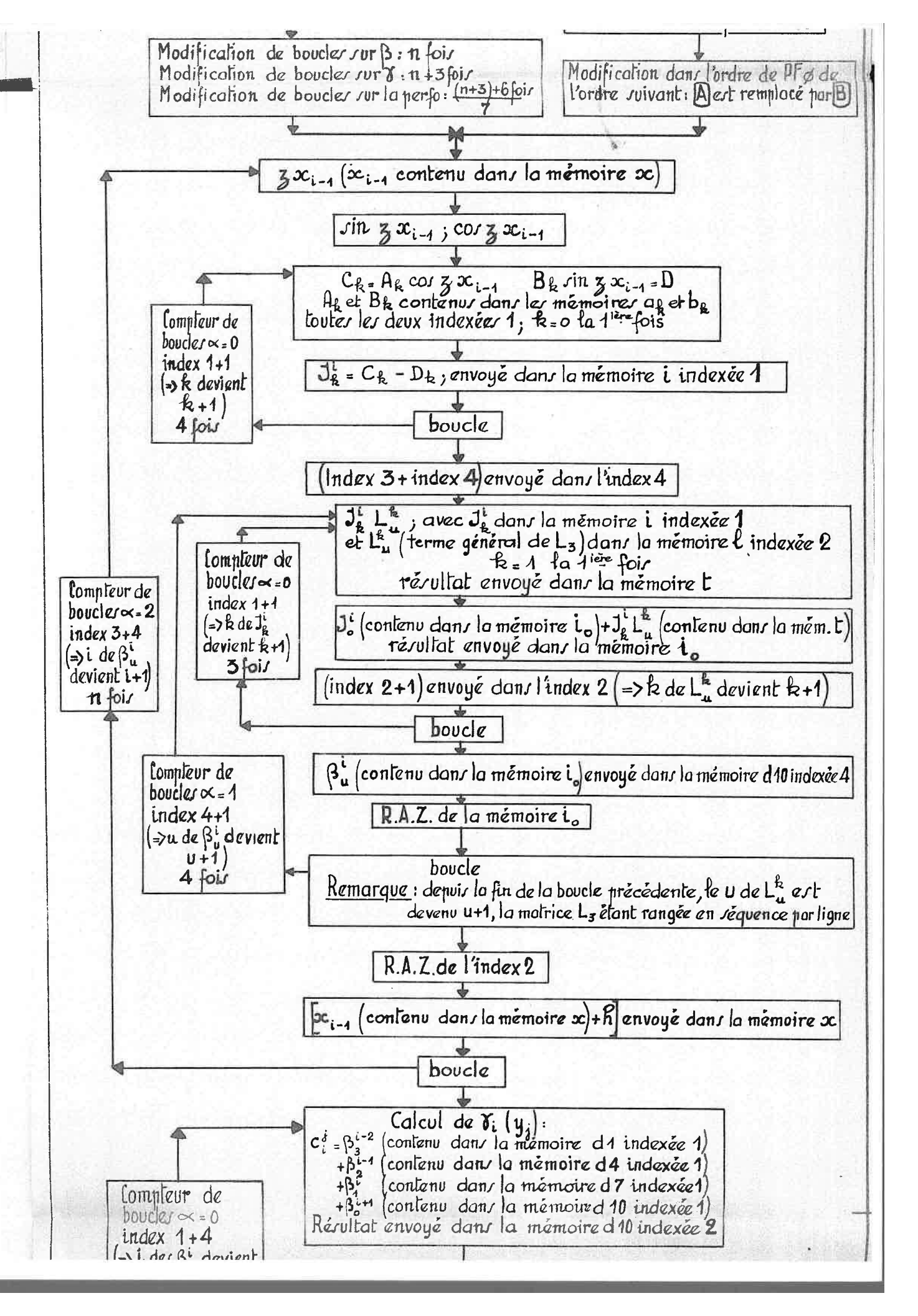
Il j'y introduit les dérivées d'ordre 1; 2; 3 et 4 de f et la valeur de la fonction elle même, <u>ce qui majore considérablement l'erreur</u>, le terme $(2\pi y)^4 \cos 2\pi \cos f(\infty)$ par exemple, étant infiniment grand par raport à cos $2\pi \cos f^{(4)}(\infty)$ pour $|y| > \frac{1}{2\pi}$.

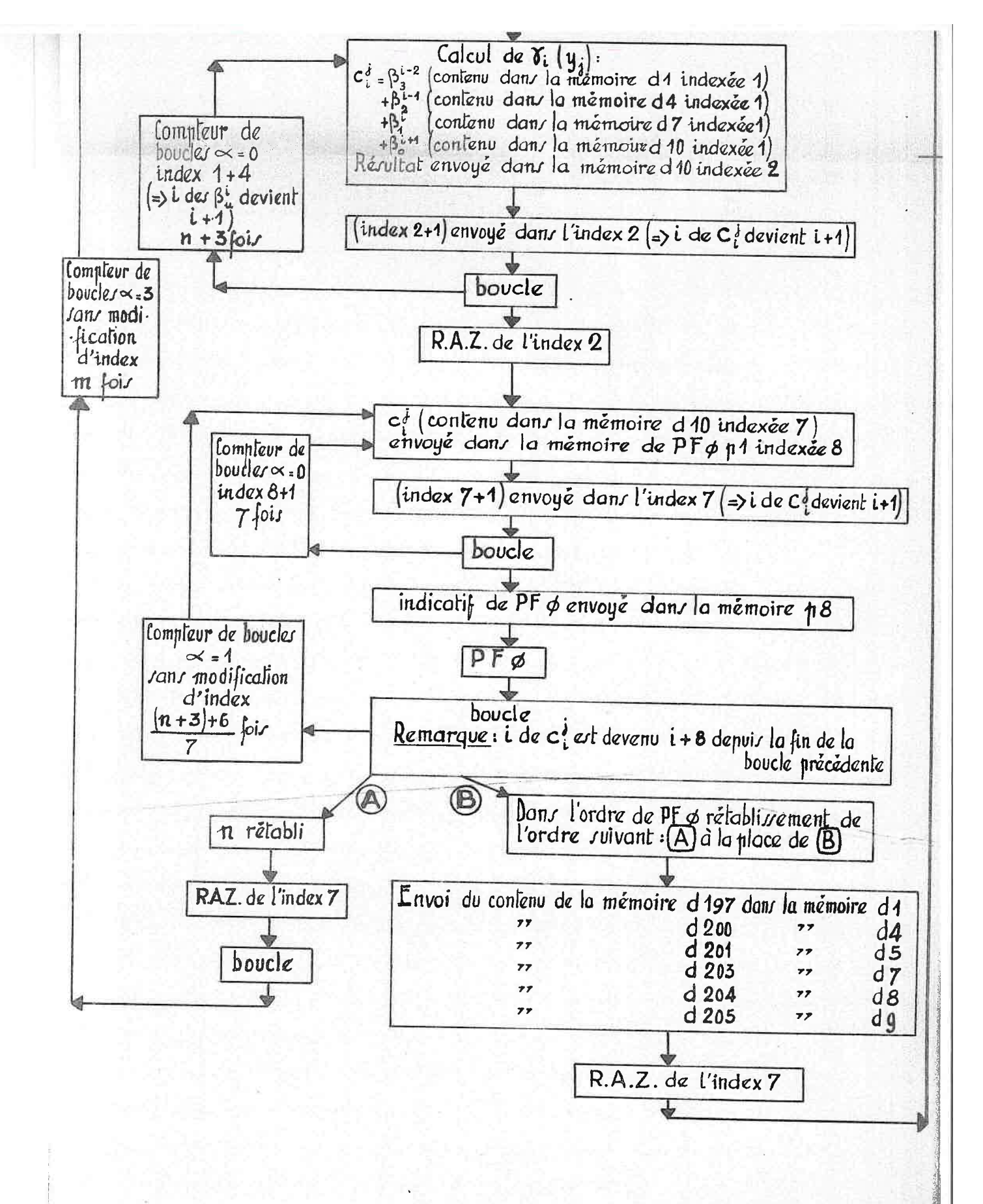
L'erreur est alors du même ordre de grandeur que la fonction elle même, alors que précédemment elle était de l'ordre d'un infiniment petit d'ordre 4 par rapport à celle ci.

DRGANIGRAMME GÉNÉRAL DU PROGRAMME CALCULANT LA MATRICE C.

Programme écrit en C.D.P. VFX, nous ne disposons que de 1.000 mémoires pour l'écriture du programme et la mise en place des données et des résultats.







4 ième (HAPITRE ---

Résultats

A-Les Séries de Fourier.

Nous pouvons développer une fonction f(x), périodique de période T, définie sur un intervalle [a,a+T] en série de FOURIER :

 ω pulsation associée à la période T. $\omega = \frac{2\pi}{T}$

(elle rérie est convergente et représente la fonction f(x) si

· celle-ci est continue

et est à variation bornée dans l'intervalle période.

Elle est absolument et uniformément convergente si la fonction est deux fois continuement différentiable.

Now avons: $c_k = c_k(f) = \int_a^{a+T} f(x)e^{-ik\omega x} \frac{dx}{T}$

Nous pouvons également écrire:

$$f(x) = a_0 + \sum_{k=1}^{\infty} (a_k \cos k \omega x + b_k \sin k \omega x)$$

avec les relations:

$$\begin{cases} a_{k} = c_{k} + c_{-k} \\ b_{k} = i \left(c_{k} - c_{-k} \right) \end{cases} \quad k > 0$$

$$\begin{cases} c_{k} = \frac{a_{k} - ib_{k}}{2} \\ c_{-k} = \frac{a_{k} + ib_{k}}{2} \end{cases}$$

ce qui entraîne:

$$a_{o}(f) = \int_{a}^{a+T} f(x) \frac{dx}{T}$$

$$k > 0$$

$$\begin{cases} a_{g}(f) = 2 \int_{a}^{a+T} f(x) \cos k \omega \propto \frac{dx}{T} \\ b_{g}(f) = 2 \int_{a}^{a+T} f(x) \sin k \omega \propto \frac{dx}{T} \end{cases}$$

• Si la fonction est <u>paire</u>, f(x) sin k ω x est une fonction impaire, son intégrale sur l'intervalle $[-\frac{1}{2}; +\frac{1}{2}]$ par exemple est nul. Donc les coefficients b_k sont nuls, seuls les a_k sont différents de zèro et

 $\begin{cases} a_o(f) = \frac{2}{T} \int_0^{T/2} f(x) dx \\ a_k(f) = \frac{4}{T} \int_0^{T/2} f(x) \cos k \omega x dx \end{cases} \quad k > 0$

donc seuls les b_k sont différents de zèro et

 $b_{k}(f) = \frac{4}{T} \int_{0}^{T/2} f(x) \sin k \omega \propto \frac{dx}{T}$

Par le changement de variable $X = \frac{\infty}{T}$, comme $\omega = \frac{2\pi}{T}$ pour f paire $\begin{cases} a_o(f) = 2 \int_0^{1/2} f(Tx) dx \\ a_k(f) = 4 \int_0^{1/2} f(Tx) \cos 2\pi k x dx \end{cases}$ pour f impaire $\begin{cases} b_k(f) = 4 \int_0^{1/2} f(Tx) \sin 2\pi k x dx \end{cases}$

Nous voyons que nous pouvons ainsi traiter le calcul des coeficients d'une série de Fourier comme celui d'une transformée de Fourier, exposé précèdemment, avec des données précises: L=1 et le appartient aux entiers: k=0,1...p. alors que y appartient à R dans le cas général.

Remarquons qu'ayant une borne supérieure finie seule s'introduit alors la seconde des erreurs dont nous avons parlé à la fin du précédent chapitre.

Nous calculons les matrices Cet D valables quel que soit f, (grâce au changement de variable ci dessus, la période T variable suivant la fonction, n'intervient plus que dans les valeurs de celle ci, donc uniquement dans le dernier calcul) avec:

n = 10 et $k = 0, 1, 2, \dots 30$.

puis les coefficients

 $a_{k}(f) = 4 \sum_{i=-1}^{11} e_{i}^{k} f(TX_{i})$ or $b_{k}(f) = 4 \sum_{i=-1}^{11} d_{i}^{k} f(TX_{i})$

Nous avons fait différents essais sur des fonctions dont le dévelopmement en série de Fourier est connu. Tous les calculs ont été effectués en virgule fixe simple précision codrage: 5.5.

1 - Tout d'abord nous avons pris des fonctions qui doivent donner des résultats stricts. En effet, dans nos essais, la fonction f(TX) est ans prochée par un polynôme de degré 3 sur chaque intervalle partiel, donc l'approximation est stricte pour un polynôme de degré inférieur ou égal à 3; nous avons utilisé les polynômes $f(\infty) = \frac{\infty}{2}$; $f(\infty) = \infty^2$; $f(\infty) = \mathbb{T}(\pi-\infty)$; $f(\infty) = (\pi-\infty)^2$. $\infty = XT$; X varie dans l'intervalle $[0; \frac{1}{2}]$; n = 10.

 $f(x) = \frac{x}{2} = \sin x - \frac{\sin 2x}{2} + \dots + (-1)^{\frac{\eta-4}{\ln \eta}} + \dots;$ $f(x) = x^2 = \frac{\pi^2}{3} - 4 \left[\cos x - \frac{\cos 2x}{2^2} + \cdots + (-1)^{p-1} \frac{\cos px}{2^2} + \cdots \right]$ 11-10-17 < 3C < +T x &T \$ (XT) = πX T= 2 T ouf (XT) 2 T X 2 T = 2T $b_{g}(f)$ stricts= $(-1)^{g+1}$ a (8) stricts 8 x 10-5 be (f) calcules par Ex10 (-1) k a calculés/4 là méthode 1 - 20 0.99980 29 0,99971 2 -0,50000 -0,49986 14 0,25000 - 10 0,24990 3 0,33333 - 4 0,33329 -0,11111 0,11096 15 4 -0,25000 -0,24985 15 0,06250 0,06246 4 5 0,20000 0,19990 -10 -0,04000 8 0,03992 6 9 -0,16666 -0,16657 0,02777 13 0,02740 7 5 0,14286 0,14281 -0,02041 0,02034 8 -0,12500 -0,12504 4 0,01562 12 0,01550 9 0,11111 0,11114 3 -0,01235 0,01213 22 10 -0,10000 -0,10000 0 0,01000 6 0,00994 11 2 0,09091 0,09093 -0,00826 - 0,00816 10 12 -0,08333 12 -0,08321 0,00694 0,00671 - 23 13 0,07692 0,07688 4 -0,00591 5 0,00596 14 -0,07143 8 -0,07135 0,00510 14 0,00496 15 0,06666 - 10 0,06656 -0,00444 0,00444 0 16 -0,06250 1 -0,06251 0,00390 10 0,00400 17 0,05882 0,05863 - 19 -0,00346 0,00345 18 -0,05555 -0,05554 -12 0,00309 0,00297 19 0,05263 0,05257 - 6 -0,00277 1 -0,00276 20 -0,05000 0,04948 52 - 39 0,00250 0,00211 21 0,04762 0,04737 - 25 -0,00227 - 22 0,00249 22 -0,04545 -0,04526 19 5 0,00207 0,00212 23 0,04348 - 10 0,04338 -0,00189 - 27 0,00216 24 -0,04166 - 3 -0,04169 0,00174 12 0,00186 25 0,04000 - 8 0,00162 2 0,03992 -0,00160 26 -0,03846 10 - 13 -0,03827 0,00148 0,00135 27 0,03704 0,03694 -10-0,00137 2 0,00135 28 -0.03571 -0,03554 17 4 0.00128 0.00124 29 0,03448 0,03445 - 3 -0,00119 0,00113 6 30 -0,03333 -0,03329 0,00111 0,00103 8

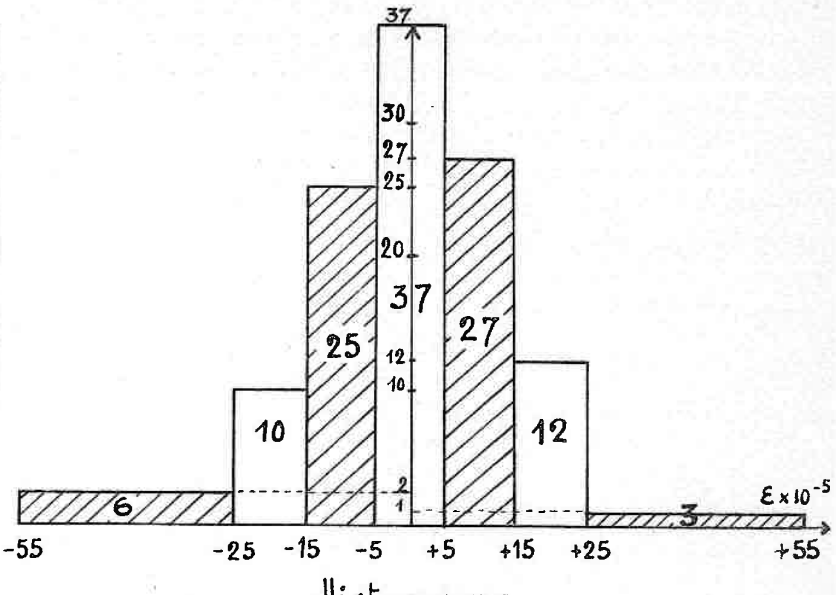
	$f(x) = \pi \left(\pi - x\right) = \frac{\pi^2}{2} + 4 \left[\cos x + \dots + \frac{\cos \left(2\pi + 1\right)x}{\left(2\pi + 1\right)^2} + \dots\right];$			$\begin{cases} (x)_{x}(\pi-x)^{2} = \frac{\pi^{2}}{3} + 4 \left[\cos x + \dots + \frac{\cos px}{p^{2}} + \dots \right]; \end{cases}$				
	ou $f(TX) = \pi^2(1-2)$			ou $f(TX) = \pi^2 (1)$	$ x \le \pi$ -2X) ² $T = 2$	τ		
k	$\frac{\overline{u}^2 a_g(\mathbf{f}) \text{ stricts} = \frac{1/R^2 \text{ kimp}}{6 \text{ k pair}}$	Itak (f) calcular	Ex10 ⁻⁵	$\frac{\Psi^2}{4}a_{\mathbf{k}}(\mathbf{f})\text{stricts} = \frac{1}{\mathbf{k}^2}$	T2ak (f) calculer	Ex 10 ⁻⁵		
1	1	0,99992	- 8	1 0	0,99984	- 16		
2	0	0,00007	7	0,25000	0,24994	- 6		
3	0,11111	0,11099	-12	0,11111	0,11103	- 8		
4	0	-0,00014	-14	0,06250	0,06238	- 12		
5	0,04000	0,04002	2	0,04000	0,04003	3		
6	0	-0,00009	- 9	0,02777	0,02772	- 5		
7	0,02041	0,02059	18	0,02041	0,02063	22		
8	0	-0,00024	- 24	0,01562	0,01543	- 19		
9	0,01235	0,01242	7	0,01235	0,01240	5		
10	o O	0,00005	5	0,01000	0,01004	4		
11	0,00826	0,00839	13	0,00826	0,00842	16		
12	0	0,00005	5	0,00694	0,00701	7		
13	0,00591	0,00605	14	0,00591	0,00604	13		
14	0	0,00009	g	0,00510	0,00524	14		
15	0,00444	0,00444	0	0,00444	0,00444	. 0		
16	0	0,00036	36	0,00390	0,00412	22		
17	0,00346	0,00346	0	0,00346	0,00348	2		
18	0	0,00010	10	0,00309	0,00317	8		
19	0,00277	0,00265	-12	0,00277	0,00275	- 2		
20	0	-0,00044	- 44	0,00250	0,00221	- 29		
21	0,00227	0,00190	~ 37	0,00227	0,00202	- 25		
22	0	-0,00024	- 24	0,00207	0,00175	- 32		
23	0,00189	0,00175	- 14	0,00189	0,00183	- 6		
24	0 00160	0	0	0,00174	0,00177	3		
25	0,00160	0,00152	- 8 14	0,00160	0,00152	- 8		
26	0 0 0 0 4 3 7	0,00014		0,00148	0,00162	14		
27	0,00137	0,00154	11	0,00137	0,00153	16		
	0,00114	0,00011	20	0,00128	0,00135	7		
29		0,00139		0,00119	0,00136	17		
1 20	0	0,00005	1 3	0,00111	0,00113	2		

Les erreurs obtenues: $E = a_g$ calcule $-a_g$ strict, nous donnent alors l'ordre de grandeur des erreurs de chute avec le cadrage choisi. Elles procèdent toutes d'une même loi (un test de GNEDENKO l'a par ailleurs prouvé). Nous les avons donc réunies en un seul histogramme avec leur moyènne et leur écart-type.

en un seul histogramme avec leur moyènne et leur écart-type.

Remarquons que nous n'avons pas à tenir compte des facteurs possibles de $a_{R}(f)$: $\frac{1}{4}$ etc...; en fait les erreurs données (\mathcal{E}) sont celles faites sur le calcul de l'intégrale $\int_{-\infty}^{1/2} f(\mathsf{Tx}) \cos 2\pi \, k \, x \, dx$, c'est ce qui nous intéresse.

Classes	Nombre d'erreuŋ
$E \times 10^{-5} < -25$	6
$-25 \leqslant \varepsilon \times 10^{-5} < -15$	10
-15 € £ x 10 ⁻⁵ <- 5	25
$-5 \leqslant \xi \times 10^{-5} \leqslant +5$	37
+ 5 < € x 10 ⁻⁵ ≤ +15	27
+ 15 < € x 10 ⁻⁵ ≤ + 25	12
+ 25 < E x 10 ⁻⁵	3
	120



Histogramme

la surface de chaque rectangle est proportionnelle au nombre d'erreurs trouvées dans chaque classe.

Un calcul strict a donné pour moyenne m = -0.18pour écart-type T = 15.17

Testons, à l'aide du χ², si la loi que suit nos erreurs, s'approche d'une loi normale.

Joient $f_{\mathbf{k}}$: nombre d'erreurs dans une classe. \mathbf{n} : nombre total d'erreurs. $\mathbf{n} = 120$ \mathbf{p} : probabilité pour que -t < T < t, \mathbf{T} suivant la loi normale $\mathbf{p} = \frac{1}{\sqrt{2\pi}} \int_{-t}^{t} e^{-\frac{t^2}{2}} dt$

Nous fairons 2 estimations m=0 et T=15

$t = \frac{(E \times 10^{-5}) - m}{T}$. 1	-1	$-\frac{\lambda}{3}$	+ 4/3	+1
k; observé	16	25	37	27	15
k' calculé avec la loi normale k' = npi	19	25	32	25	19

$$\frac{\chi^2}{1} = \frac{5}{4} \frac{(k_i - n\mu_i)^2}{n\mu_i} \quad \text{ou} \quad \frac{16+9}{19} + \frac{4}{25} + \frac{25}{32} \# 2,25$$

Nous avons 5 variables et 2 estimations, le degré de liberté du x est alors T = 5-2-1 = 2

à 2 degrés de liberté et à 95% $\chi_p^2 = 5,991$

χ² < χ² donc <u>rien ne s'oppose à accepter l'hypothèse que nos</u> erreurs suivent une loi normale de moyenne m=0 et d'écart type T=15

2 - Puis nous avons pris des fonctions pour lesquelles l'approximation par un polynôme de degré 3 n'est pas stricte et nous avons comparé notre mé--thode à une méthode de GAUSS et à une méthode composité ordinaire. Dans cette dernière, comme dans la méthode généralisée, nous avons divisé l'intervalle [0, 1/2] en 10 intervalles partiels égoux et interpolé sur chacun d'eux la fonction F(X) = f(TX) cos 2 T & X par un polynôme de degré 3; dans celle de GAUSS nous avons pris une méthode d'ordre 10 sur tout l'intervalle donc stricte pour un polynôme de degré m: m \ (10 x2)+1 = 21.

Des essais ont été fait avec les fonctions $f(x) = \cos x$; $f(x) = \sin x$ qui donne sensiblement les mêmes résultats que la fonction $\cos x$, c'est

piourquoi elle ne figure pas dans le lableau suivant, et $f(x) = Ch \frac{\infty}{2}$. La méthode de Gauss est excellente pour les premières valeurs de k, dans notre exemple $k \leq 8$. Mais, lorsque k croît, elle n'est plus valable. Un essai sur une méthode de GAUSS d'ordre 3, donc stricté pour un polynôme de degré inférieur ou égal à 7, sur des intervalles partiels suces. siff (ici 10, soient 40 points de GAUSS au total sur l'intervalle [0, 1]) a donne un meilleur résultat (& < 18) mais est plus coûteuse et ne convient plus pour k suffisamment grand.

La méthode composite ordinaire diverge également pour des valeurs de le un peu élevées (k > 9 pour l'exemple choisi) quoi qu'elle donne, de moins bons résultats que celle de GAUSS pour les petites valeurs de R (Cf: Comparaison des méthodes usuelles d'intégration, faite au Centre de Calcul Automatique de NANCY.)

Nous pouvions à priori prévoir la divergence de ces 2 méthodes: En effet, dans celles ci, c'est la fonction F(X)=f(TX) cos 2π & X

(ou f (TX) sin 2π & X) que nous aprochons par un polynôme.

Lorsque & croît, le degré du polynôme d'aproximation restant fixe, l'aproximation devient défectueuse. Le nombre de points, servant à aprocher une partie de la fonction, n'est plus suffisant: le polynôme obtenu ne reprérente par d'une manière statisfairante les courbes de plus en plus reserrées de la fonction (Cf le théorème de LEBESGUE)

Ainsi, dans la méthode composite ordinaire, nous observous une nériode et une symétrie dans les résultats. Joit 2 L le nombre d'intervalles partiels choisi sur l'intervalle $[0,\frac{1}{2}]$. Pour k'=k+2l, le résultat est le même que pour k: en effet, $\cos[2\pi kx+2\pi 2lx]$ avec $X=\frac{\pi}{2l}$, π entier, devient $\cos[\frac{2\pi kx}{2l}+\frac{4\pi nl}{2l}]=\cos\frac{2\pi kx}{2l}$ ou $\cos2\pi kx$. Nous avons donc une

période de 21 et auxi une symétrie par rapport à 1; en effet si k' = k - l et k'' = k + l cor $2\pi k' \times cos[2\pi k \times -2\pi l \times]$ soit avec $X = \frac{r}{2l}$ cos[2πkx-πp]égal à cos[2πkx+πp] et cos 2πk'x = cos 2πk"x

De plus, dans l'erreur sur l'approximation de la fonction F(X) s'in--troduisent les dérivées première, seconde, troisième de f et la valeur de la fonction elle même, landis que dans la méthode composite généralisée, c'est la dérivée 4 de f qui s'introduit la première (voir fin du cha-pitre précèdent) ce qui explique la meilleure approximation : nous n'approchons que la Jeule fonction f(x) par un polynôme, la fonction cos 2 x & x (ou sin 2 x & x) intervenant strictement dans le calcul mathématique des

intégrales. Si f(x) est "suffisamment régulière", le calcul reste valable quel que soit k, les erreurs observées dans les résultats sont de l'ordre de grandeur de celles trouvées au paragraphe précédent, f bien qu'il faille companer $4(E_1 \times 10^{-5})$ aux $E \times 10^{-5}$ précédents, puisque nous avons donné les résultats de $\frac{a_k(f)}{f}$ et non de $a_k(f)$.

Remarquons en outre que la méthode de GAUSS impose des x_i précis, tandis que la méthode composite demande de connaître f(x) en n points équidistants de l'intervalle période, le calcul de le et Détant alors effectué avec ce nombre n, jusqu'à une valeur quelconque de k.

En conclusion, notre méthode doit permettre de calculer les coeficients élevés du dévelopment d'une fonction en série de Fourier; nous pourrions reprendre les essais avec un autre cadrage et plus de chifres significatifs pour obtenir une meilleure précision sur ceux ci, ce qui sera fait ultérieurement sur plus grosse machine.

$$\int (\infty) = |\cos x| = \frac{4}{\pi} \left[\frac{1}{2} + \frac{\cos 2x}{3} + \dots + (-1)^{n-1} \frac{\cos 2nx}{4n^2 - 1} + \dots \right]$$

$$T = 2\pi \quad \text{at} \quad R = 2n$$

Nous avons négligé les coefficients nuls (k impair) dans ce tableau.

$\eta = \frac{k}{2}$	$\frac{\frac{1}{4}a_{\mu}(f) \text{ strict}_{=}}{(-4)^{\frac{1}{1}-1}}$ $\pi (4\mu^{2}-1)$	14 ap (f) méthode composite généralisée	ξ ₁ ×10 ⁻⁵	4 an (f) méthode comparite ordinaire	E2 x 10-5	1 ap (8) méthode de GAUN	Ex 10 ⁻⁵
1 2 3 4 5 6 7 8 9 10 11 12 13 14 15 16 17 18 19 20 1 22 23 24 25 6 27 28 29 30	0,10610 -0,02122 0,00909 -0,00505 0,00321 -0,00223 0,00163 -0,00066 -0,00055 0,00047 -0,00047 -0,00047 -0,00027 -0,00027 -0,00027 -0,00017 0,00018 -0,00013 -0,00013 -0,00014 -0,00010 -0,0009 -0,0009	0,10577 -0,02122 0,00908 -0,00507 0,00321 -0,00224 0,00165 -0,00127 0,00100 -0,00080 0,00069 -0,00054 0,00025 0,00028 -0,00025 0,00028 -0,00021 -0,00020 0,00012 -0,00012 -0,00008 0,00011 -0,00008	301201222031011612174330131221	0,10614 -0,02138 0,00940 -0,00555 0,00396 -0,00285 -0,00264 -0,00264 -0,00264 -0,00264 -0,00287 -0,00396 -0,00555 0,00939 -0,00555 0,00941 -0,00555 0,00941 -0,00555 0,00396 -0,00555 0,00941 -0,00555 0,00396 -0,00322 0,00285 -0,00264 -0,00264 -0,00264 -0,00263	order de la centaine + + + + + + + + + + + + + + + + + + +	0,10610 -0,02122 0,00909 -0,00505 0,00321 -0,00223 0,00164 -0,00119 0,00069 -0,00283 0,00547 0,02529 -0,02507 -0,12665 0,03172 0,22365 0,05167 -0,04045 -0,05010 -0,11917 -0,06679 -0,07373 -0,07373 -0,07999 0,00107 0,00107 0,04446 0,12316 0,01571 -0,11600	0000001693394 + + 22 3/14 20 20 20 00 00 1 6 93 37 4 24 20 30 5 5 4 5 30 5 5 4 5 30 5 5 4 5 30 5 5 6 5 6 5 6 5 6 5 6 6 6 6 6 6 6 6 6

Remarque: dans la méthode composite ordinaire ici l = 10 la période est de 20 $a_{p}(f) = a_{p+20}(f)$ la symétrie est autour du point p = 10 $a_{10-p}(f) = a_{10-p}(f)$

$$f(x) = Ch \frac{x}{2} = \frac{4\pi}{5h \frac{\pi}{2}} \left[\frac{1}{2} - \frac{\cos x}{5} + \dots + (-1)^{\frac{p}{2}} \frac{\cos n x}{4p^{2}+1} + \dots \right] ; |x| \le \pi$$

$$T = 2\pi \qquad k = p = 1; 2; \dots 30$$

h	1 ak(f) stricts =	14 a (f) methode composite généralisée	E'x10-5	1 a (f) (methode composite ordinaire	E'x 10 ⁻⁵	1 a (f) methode de GAU!	E'_x 10 ⁻⁵
	$\frac{Sh\frac{\pi}{2}}{\pi} \frac{(-1)^{\frac{h}{2}}}{4k^2+1}$			- Coranaire		- K. /(de GAU)/	_
1 2 3 4	- 0,14650 0,04309 - 0,01980 0,01127	- 0,146g1 0,04307 - 0,01978 0,01124	- 41 - 2 + 2 - 3	- 0,14660 0,04340 - 0,02048 0,01243	- 10 + 31 - 68 + 116	- 0,14650 0,04309 - 0,01979 0,01127	0 0 + 1 0
5	- 0,00725 0,00505	- 0,00722 0,0050g	+ 3 + 4	- 0,00896 0,00735	- 171 + 230	- 0,00726 0,00505	- 1 0
7 8	- 0,00372 0,00285	- 0,00368 0,00279	+ 4	- 0,00655 0,00620	lo centóine 1 obsolve 88	- 0,00372 0,00288	0 + 3
10	- 0,00225 0,00183	- 0,0021g 0,00182	+ 6	- 0,00606 0,00602		- 0, 0 0 1 9 7 - 0, 0 0 0 2 8	+28
11 12 13	- 0,00151 0,00127 - 0,00108	- 0,00148 0,00123 - 0,00107	+ 3 - 4 + 1	- 0,00606 0,00620 - 0,00656	Ordre de en valeur	- 0, 0 0 6 9 4 0, 0 3 9 5 6 0, 0 3 0 3 4	-543 +3829
14	0,00093	0,00089	- 4 + 1	0,00735	- 817	- 0, 2 2 9 5 2 - 0, 0 4 2 5 1	
16 17	0,00071	0,00077 - 0,00064	+ 6 + 1	0,01243 - 0,02050	1172 -1977	0,46432	ville absolve
18	0,00056	0,00055	- 1	0,04342	+ 4286		6
20 21 22	0,00045 - 0,00042 0,00037	0,00031 - 0,00052 0,00038	- 14 - 10 + 1	0,73254 - 0,14658 0,04340	+73.200 -14.616 + 4.303	- 0,29286 0,09091 - 0,19983	Ordre de an raleur
23 24	- 0,00034 0,00031	- 0,00043 0,00035	- g + 4	- 0,02047 0,01242	- 2.013 + 1.211	0,04473	-3.437
25 26	- 0,0002g 0,00027	- 0,00031 0,00024	- 2 - 3	- 0,008 § 5 0,00733	- 866 100 998	- 0,00325 0,04878	- 296 +4.851
27 28	- 0.00025 0,00023	- 0,00023 0,00023	+ 2	- 0,00654 0,00622	re lo cen ur obson	- 0,05990 0,27799	: mille
2g 30	- 0,00021 0,00020	- 0,0001g 0,0001g	+ 2 - 1	- 0,00606 0,00602	Ordre de la centaine 's en raleur absolve &	- 0,02638 - 0,17058	Ordre de mille an valeur absolve

Même remarque que dans le tableau précédent pour la période et la symétrie observées dans la méthode composite ordinaire.

$$a_{k}(f) = a_{k+20}(f)$$
 et $a_{10-k}(f) = a_{10+k}(f)$.

B-Les Transformées de FOURIER.

les matrices ℓ et $\mathcal D$ ont été calculées, toujours en approchant f(x) par un polynôme de degré $3: P_3(x)$, pour différentes valeurs de n et avec des valeurs de y en général égales à celles de x pour obtenir des matrices carrées; puis nous avons efectué plusieurs exais sur des fonctions f(x) ayant une écriture mathématique simple et dont nous connaissions la transformée de Fourier f(y).

simple et dont nous connaissions la transformée de Fourier f(y).

Ainsi les sommes, ligne par ligne, des termes de f(y) ont été vérifiées: en posant $f(x) \equiv 1$ nous avons, par notre méthode $f(y) = \sum_{i=1}^{n} f_i(j)$ et strictement

 $\widehat{f}(y) = \int_{0}^{L} \cos 2\pi \, xy \, dx = \frac{\sin 2\pi \, Ly}{2\pi \, y}$

Nous avons ensuite été conduit à considérer le nombre de "bosses" de la courbe,

c'est à dire le nombre de portions comprises entre 2 maxima ou 2 minima.

Ji le nombre de points choisis pour "définir" la fonction f(sc) (définir ou sens physique: définition d'un signal par exemple.) est de 8 ou 10 points au moins, pour "une bosse" la méthode est bonne, s'il est de 4 ou 5 points la méthode reste valable dans le sens où le signe de f(y), l'allure de la courbe, c'est à dire la position des maxima, sont respectés mais où les valeurs numériques de ces maxima sont entachées d'erreur; par contre la méthode ne convient plus lorsque nous prenons moins de 4 points pour définir "une bosse"

Remarquons de plus que nous avons calculé toutes les transformées de FouriER suivantes sur l'intervalle $[0, +\infty]$ seulement, puisque toutes les fonctions f(x) ont été

choisies paires ou impaires (G. début chapître 3'.).

1 ier exemples.—Et ude du nombre de points à choisir par "bosse" avec essais sur des fonctions $f(x) = \cos q x$ ou sin qx { l'intervalle [-L; +L] a été choisi égal à [-10; +10], les fonctions f(x) étant nulles en dehors de cet intervalle.

 $\langle \text{Joit} \quad f(x) = \begin{cases} \cos \frac{\pi}{4} x \text{ pour } |x| \leq 10 \\ 0 & \text{pour } |x| \geq 10 \end{cases}$

- Nvec n = 8 Formons d'abord le tableau de variation de la fonction.

Nous avons un nombre de points suffisant par bosse pour calculer f(y) par notre méthode

- - 1 vec n = 16 nous avons un nombre de points de "définition" par bosse" double du précédent, donc une meilleure approximation.

Nous connaissons mathématiquement la transformée de Fourier

de
$$f(x)$$
: $\hat{f}(y) = \int_{0}^{10} \cos \frac{\pi x}{4} \cos 2\pi xy \, dx$ et en intégrant par parties $\hat{f}(y) = \frac{1}{2} \left[\frac{\sin 10(2\pi y + \frac{\pi}{4})}{2\pi y + \frac{\pi}{4}} + \frac{\sin 10(2\pi y - \frac{\pi}{4})}{2\pi y - \frac{\pi}{4}} \right]$

Nous utilisons donc ici der matricer du type & et obtenons le tableau suivant:

y	$\hat{f}(y)$ stricte	$\hat{f}(y)$ calculée $\pi = 8$	E x 10 ⁻⁵	Ĵ(y) calculée n = 16	Ex10.5
1,25	0,01286	0,01298	+ 12	0,01290 .	+4
2,50	-0,00319	-0,00182	+137	-0,00320	+1
3,75	0,00142	0,00148	+ 6	0,00146	+ 4
5	-0,00080	-0,00086	- 6	-0,00083	- 3
6,25	0,00051	0,00070	+ 19	0,00064	+13
7,50	-0,00035	-0,00035	0	-0,00035	0
8,75	0,00026	0,00022	_ 4	0,00025	-1
10	-0,00020	-0,00016	- 4	-0,00019	+1

< Soit
$$f(x) = \begin{cases} \int \ln \frac{\pi x}{5} & \text{pour } |x| \leq 10 \\ 0 & \text{pour } |x| \geq 10 \end{cases}$$

Avec n = 8, nous avons 8 points par "bosse" et avec n = 16, un nombre double de points de "définition" par bosse".

— Tableau de variation de
$$f(x)$$
.

Mothématiquement
$$\hat{f}(y) = \int_{0}^{10} \sin \frac{\pi x}{5} \sin 2\pi xy$$
 soit $\hat{f}(y) = \frac{1}{2} \left[\frac{\sin 10(2\pi y + \frac{\pi}{5})}{2\pi y + \frac{\pi}{5}} - \frac{\sin 10(2\pi y - \frac{\pi}{5})}{2\pi y - \frac{\pi}{5}} \right]$

Nous obtenons des résultats avec des erreurs du même ordre de grandeur que les précédentes. En voici un extrait : (nous utilisons donc ici des matrices du type &)

y	₹(y) stricte	Ĵ(y)calculée 11=16	Ex10 ⁻⁵
0,625	0,04181	0,04181	0
1,875	- 0,00454	- 0,00457	- 3
3,125	0,00163	0,00162	- 1
4,375	- 0,00083	- 0,00085	- 2
5,625	0,00050	0,00046	- 2
6,875	- 0,00037	- 0,00039	- 2
8,125	0,00018	0,00017	- 1
9,375	- 0,00021	- 0,00023	- ž

Avec n = 80, c'est à dire avec un nombre beaucoup plus considérable de points pour "définir" la fonction, toujours sur le même intervalle [-10; +10] pour [-L; +L], nous avons étudié quatre fonctions successives:

$$\begin{cases} f_1(\infty) = \cos \frac{\pi \infty}{4} \\ f_2(\infty) = \cos \frac{7\pi \infty}{4} \\ f_3(\infty) = \cos \frac{17\pi \infty}{4} \\ f_4(\infty) = \cos \frac{31\pi \infty}{4} \end{cases} \text{ pour } |\infty| \le 10$$

$$\begin{cases} f_1(x), f_2(x), f_3(x), f_4(x) = 0 \text{ pour } |\infty| \ge 10 \end{cases}$$

Le nombre n ainsi choisi donne une excellente "définition pour la première fonction: 64 points par "bosse".

Pour la reconde, il correspond à 8 à 9 points par bosse" roit

une "définition" encore bonne de f(x).

Pour la troisième, il correspond à 3 à 4 points par bosse soit une définition seulement valable qui nous donne l'allure de la courbe de la transformée.

Pour la quatrième, la "définition" à 1 ou 2 points par "bosse" est sans valeur et donne des résultats trop erronés pour la transformée, c'est

pourquoi ceux-ci ne figureront par dans le tableau suivant

Nous utilisons ici une matrice du type E.

Le tableau complet des résultats étant trop important, nous nous sommes limités à un tableau partiel, celui ci contenant, entre autre, les valeurs des maxima de la fransformée.

y	$\hat{\xi}$, (y) /tricte	🖟 (y) calculée	Ex 10 ⁻⁵	$f_2(y)$ stricte	\$2(y) calculée	Ex 10-5	$\hat{f}_3(y)$ stricte	🔓 (y) colcul
0,125		0	0	0	-0,00089	- 85		-0,0030
0,250	0,42441	0,42058	- 83	0,19806	0,11649	-8157	-0,07595	-0,0514
0,375	0	0,00006	+ 6	0,00002	0,00003	+ 1	٥	0,0002
0,5	-0,08488	-0,08501	- 13	-0,27008	-0,29062	-2054	0,07928	0,0949
0,625	0	-0,00001	- 1	-0,00005	0,00006	+ 11	0,00001	-0,0001
0,75	0,03637	0,03636	- 1	0,68558	0,67583	- 975	-0,08555	-0,0730
0,875	0	0,00002	+ 2	4,99999	5,00534	+ 535	-0,00002	-0,0001
1	-0,02021	-0,02023	- 2	0,59419	0,59005	- 414	0,09620	0,0850
1,125	0	-0,00004	- 4	0,00006	-0,00001	- 7	0,00002	0,0003
1,25	0,01286	0,01282	-4	- 0,17476	-0,17456	+ 20	-0,11452	-0,1037
1,375	0	-0,00007	-7	- 0,00003	-0,00012		-0,00003	-0,0000
1,5	-0,008g0	- 0,00887	+ 3	0,09382	0,09341	- 41	0,14927	0,1342
1,625	0	0,00014	+14	0,00002		- 1	0,00006	0,0001.
1,75	0,00653	0,00654	+ 1	- 0,06063	-0,06033	+ 30	-0, 23274	-0,2104
1,875	0	-0,00008	- 8	- 0,00002	-0,00010	- 8	-0,00013	-0,0000
2	-0,00499	-0,00506	- 7	0,04306	0,04293	- 13	0,65588	0,59533
2,125	0	0,00008	+8	0,00002	-0,00011	- 14	4,99999	4,5459
2,25	0,00394	0,00392	- 2	-0,03241	-0,03229	+ 12	0,61846	0,5645
2,375	0	-0,00010	-10	-0,00001	-0,00003	- 2	0,00014	0,0001
2,5	-0,00319	-0,00321	- 2	0,02539	0,02530	- 9	-0,19500	-0,17873
2,625	0	-0,00012	-12	0,00001	-0,00009	- 11	-0,00007	-0,00016
2,75	0,00264	0,00258	-6	-0,02049	-0,02045	+ 4	0,11100	0,1025
2,875	0	0,00005	+ 5	- 0,00001	-0,00001	0	0,00005	- 0,0000
3	-0,00221	-0,00222	-1	0,01691	0,01677	- 14	-0,07542	-0,07013
3,125	0	-0,00008	-8	0	0	0	0,00004	0,0000
3,25	0,00189	0,00188	-1	-0,01421	-0,01420	+ 1	0,05593	0,0527
3,375	0	0,00005	+5	0	-0,00009	_	0,00003	- 0,0000
3,5	-0,00163	-0,00155	+8	0,01213	0,01216		-0,04373	- 0,0415
3,625	0	0,00002	+2	0	0,00002		-0,00003	- 0,0001
3,75	0,00142	0,00143	+1	-0,01047	-0,01028		0,03543	0,0344
3,875	0	0,00003	+3	0	-0,00005		0,00002	0,0000
4	-0,00124	-0,00126	-2_	0,00914	0,00917		-0,02945	- 0,0290
5,125	0	0,00013		0	0,00002		-0,00002	0,0000
5,250	0,00072	0,00072	0		-0,00508		0,01467	0,0195
5,375	0	0,00003		0	-0,00005		0,00001	-0,0001
5,5	-0,00066	-0,00065		0,00472			-0,01314	-0,0222
5,625	0	-0,00003		0	0,00015		-0,00001	0,0001
5,75	0,00060	0,00057		- 0,00431	-0,00426		0,01185	0,0417
5,875	0	-0,00010		0	0,00004		+0,00001	0,2418
6	-0,00055	-0,00053		0,00395			-0,01074	0,0212
6,125	0	0,00011		0	0,00002		-0,00001	0,0000
6,25	0,00051	0,00058		- 0,00364			0,00979	-0,0019
6,375	0 0001 =	0,00008		0	0,00017		+ 0,00001	0,0000
6,5	-0,00047	-0,00045	+ 2	0,00336	0,00347	+ 11	-0,00896	-0,0020

Remarquons que, dans ces résultats, les premières valeurs de la transformée sont plus fortement entachées d'erreur que les suivantes, ce que nous avions prévu au chapître 3 (voir "erreurs" en fin de chapître.)

De plus f_3 (y) calculée donne l'allure de la courbe de la transformée puisque nous retrouvons bien le maximum le plus élevé pour y = 2,125, dont la valeur numérique est alterrée cependant; mais elle semble donner en outre un harmonique pour y = 5,875 qui n'existe pas en réalité. Ce qui nous confirme que 4 à 5 points par bosse n'est pas un nombre sufisant pour définir f(x) si nous désirons un résultat precis.

résultat précis.

Une courbe f (x) sera d'autant plus dificile à définir expérimentalement qu'elle possède un plus grand nombre de maxima et minima. En conclusion, dans le cas d'une courbe très oscillante, pour obtenir des résultats corrects, il faudra "mettre le prix "c'est à dire définir cette courbe avec 6 à 8 points par "bosse" au moins, donc prendre un nombre assez élevé, ce qui est coûteux au départ, mais ne l'est plus lorsque la matrice & est calculée.

Autres exemples - Les fonctions utilisées jusqu'à présent ne présentaient aucune discontinuité, puisque même pour x = 10 elles étaient nulles, aucune singularité non plus sauf pour le point x = 10 qui possédait deux tangentes différentes, une à droite et une à gauche.

Nous allons essayer maintenant diverses fonctions qui auront chacune

une particularité.

$$<$$
 Soit $f(x) = e^{-x}$ $x \in [0, +\infty[$.

Nous calculons $\int_{0}^{\infty} e^{-x} \cos 2\pi xy \, dx$ en négligeant $\int_{0}^{\infty} e^{-x} \cos 2\pi xy \, dx$ c'est à dire en commettant une erreur systématique.

Nous utilisons pour cet exemple n=16 et une matrice du type \mathcal{E} puisque f(x) est paire.

Nous avons pris deux valeurs de L pour <u>étudier cette erreur</u>

Jysemalique

Jysemalique

Jysemalique

- geable du tout, d'où les fortes erreurs observées. En effet dans l'erreur inter
vient d'abord f (L) (cf: fin du 3 ième chapitre). Par notre méthode l'allure de la courbe n'est plus conservée: elle oscille alors qu'en réalité elle décroît régulièrement.

Pour L=10 $f(10) = e^{-10} = 0$, 00005 l'intégrale $\int_{0}^{\infty} ext$ négligeable à la précision que nous evions choisie, les erreurs observées dans les résultais sont du même ordre de grandeur que celles observées en général.

La Transformée de Fourier de
$$f(x)$$
 nous est connue:

$$\hat{f}(y) = \int_{0}^{\infty} e^{-x} \cos 2\pi xy dx = \frac{1}{1+4\pi^{2}y^{2}}$$

TABLEAUX DES RÉSULTATS

L=10

L	2

y	f(y) stricte	f(y)calculée		
0,125	0,61810	0,71525		
0,250	0,28840	0,32734		
0,375	0,15263	0,10266		
0,5	0,09200	0,07810		
0,625	0,06089	0,09205		
0,75	0,04309	0,04819		
0,875	0,03195	0,00792		
1	0,02471	0,02103		
1,125	0,01962	0,03794		
1,25	0,01545	0,01778		

y	$\hat{f}(y)$ stricte	f (y)calculée	Ex 10 ⁻⁵
0	1	0,99768	-232
0,625	0,06089	0,06089	0
1, 25	0,01595	0,01613	+ 18
1,875	0,00715	0,00730	+ 15
2,5	0,00404	0,00404	0
3,125	0,00259	0,00274	+ 15
3.75	0,00180	0,00182	+ 2
4,375	0,00132	0,00133	+ 1
5	0,00101	0,00104	+ 3
5,625	0,00080	0,00081	+ 1
6,25	0,00065	0,00071	+ 6
6,875	0,00053	0,00052	- 1
7,5	0,00045	0,00043	- 2
8,125	0,00038	0,00043	+ 5
8,75	0,00033	0,00035	+ 2
9,375	0,00029	0,00032	+ 3
10	0.00025	0.00025	0

$$<$$
 Soit $\{(x) = \begin{cases} x \\ 2,5 \\ 0 \end{cases}$

$$|x| \le 2.5$$

 $2.5 \le |x| \le 10$
 $|x| > 10$

f(x) est une fonction avec un point à tangentes différentes à gauche et à droite: le point x=2,5, et une fonction discontinue puisqu'elle possède un saut au point x=10

L=10. Comme $f(\infty)$ est impaire nous utilisons une matrice du type \mathscr{D} avec n=16.

La transformée de FOURIER de f(x) est:

$$\hat{f}(y) = \int_{0}^{2.5} x / \ln 2\pi xy \, dx + \int_{2.5}^{6} 2.5 / \ln 2\pi xy \, dx$$

Noit
$$\hat{f}(y) = \frac{/ \ln 5\pi y}{4\pi^{2}y^{2}} - \frac{5 \cos 20\pi y}{4\pi y}$$

y	f (y) stricte	f (y) calculée	ε,	(10 ⁻⁵
0,625	-0,02482	- 0,02931	_	449
1,25	0,32977	0,32217	-	760
1,875	-0,00665	- 0,00131	+	534
2,5	-0,15510	- 0,15644	-	134
3,125	-0,00240	- 0,00018	+	222
3,75	0,10738	0,10683	_	55
4,375	-0,00050	- 0,00062	_	12
5	-0,07958	- 0,07962		4
5,625	0,00030	0,00009	-	21
6,25	0,06320	0,06367	+	47
6,875	0,00050	0,00027	-	23
7,5	-0,05350	- 0,05327	+	23
8,125	0,00035	- 0,00001	_	36
8,75	0,04524	0,04533	+	9
9,375	0,00011	- 0,00008	_	19
10	-0,03979	- 0,03980		1

< Nous venons de donner un exemple sur une fonction ayant une discontinuité au départ et dont la transformée de Fourier elle, était continue

Inversement, soit une fonction f(x) continue, notre méthode permetelle de retrouver les discontinuites de la transformée de Fourier de cette fonction? Une réponse afirmative serait intéressante pour les physiciens.

Joient les 3 fonctions suivantes:
$$\begin{vmatrix}
f_1(x) &= \frac{\sin 2\pi x}{2\pi x} \\
f_2(x) &= \frac{\sin 25\pi x}{2\pi x}
\end{vmatrix}$$
four $x \in \mathbb{R}$.

Nous utilisons une matrice du type & avec n = 80 sur l'intervalle [0;10] donc ici L=10

Nous commissions les transformées de Fourier de ces fonctions: $\int_{1}^{2} \left(y \right) = \int_{0}^{\infty} \frac{\sin 2\pi x}{2\pi x} \cos 2\pi x dx = \begin{cases} 0.25 & |x| < 1 \\ 0.125 & |x| = 1 \\ 0 & |x| > 1 \end{cases}$

$$\hat{f}_{2}(y) = \int_{0}^{\infty} \frac{\sin 25\pi x}{2\pi x} \cos 2\pi x dx = \begin{cases} 0, 25 & |x| < 1, 25 \\ 0, 125 & |x| = 1, 25 \\ 0, 125 & |x| = 1, 25 \end{cases}$$

$$\hat{f}_{3}(y) = \int_{0}^{\infty} \frac{\sin 3\pi x}{2\pi x} \cos 2\pi x dx = \begin{cases} 0, 25 & |x| < 1, 5 \\ 0, 125 & |x| = 1, 5 \\ 0, 125 & |x| = 1, 5 \\ 0, 125 & |x| > 1, 5 \end{cases}$$

TABLEAU DES RÉSULTATS

y	$\hat{f}_1(y)$ stricte	🐧 (y) calculée	$\hat{f}_2(y)$ stricte	f2(y)calculée	$\hat{f}_{s}(y)$ stricte	Ĵ3(y)calculée
0,375	0,25000	0,20374	0,25000	0,19726	0,25000	0,19250
0,5	0,25000	0,28243	0,25000	0,29402	0,25000	0,29289
0,625	0, 25000	0,26174	0,25000	0,26348	0,25000	0,26496
0,75	0,25000	0,25943	0, 25000	0,25188	0, 25000	0,25791
0,875	0,25000	0,25896	0,25000	0,26213	0,25000	0,26316
1	0, 12500	0,13084	0,25000	0,26205	0,25000	0,25466
1,125	0	0,00972	0,25000	0,25688	0,25000	0,25930
1,25	0	0,00418	0,12500	0,13340	0,25000	0,26422
1,375	0	0,00759	0	0,01026	0,25000	0,25365
1,5	0	0,00963	0	0,00443	0,12500	0,13121
1,625	0	0,00747	0	0,00859	0	0,01080
1,75	0	0,00590	0	0,01043	٥	0,00479
1,875	0	0,00676	0	0,00805	0	0,00880
2	0	0,00739	0	0,00641	0	0,01066
2,125	0	0,00619	0	0,00722	0	0,00810
2,25	0	0,00532	0	0,00786	0	0,00638
2,375	0	0,00551	0	0,00652	0	0,00716
2,5	0	0,00557	0	0,00533	0	0,00764
2,625	0	0,00488	0	0,00573	0	0,00635
2,75	0	0,00405	0	0,00579	0	0,00514
2,875	0	0,00402	0	0,00478	0	0,00533
3	0	0,00405	0	0,00399	0	0,00546

Nous pouvons conclure que les allures des courbes des transformées de FouriER des fonctions f(x) sont conservées mais remarquons que:

f. (y) est la courbe la "mieux approchée" des trois. En efet la courbe f. (x) possède avec n et L choisis 8 points de définition par bosse tandis que f. (x) en possède 6 à 7 et f. (x) 5 seulement.

Un essai a été exécuté avec la fonction $f_4(x) = \frac{\sin 10\pi x}{2\pi x}$ pour $x \in \mathbb{R}$, mais a donné des résultats assez erronés ($f_4(5) = 0.065$ au $2\pi x$ lieu de 0.125 par exemple au point de discontinuité), celle ci ne possédant que 1 a 2 points de "définition" par "bosse".

Par notre méthode, les premières valeurs numériques de la transformée présentent un maximum assez élevé et supérieur à la valeur réelle de cette transformée. Nous retrouvons ici le phénomène de GIBBS.

Soit une fonction f(x) développable en série de Fourier.

Ji nous voulons représenter celle fonction par un nombre fait de termes de cette série, la courbe obtenue possédera des maxima et des minima autour de la courbe réelle vers laquelle tend la série, ceux ci décroissants en valeur absolue les uns par rapport aux autres, le premier étant un maximum et le plus élevé. De plus les écarts entre les deux courbes sont de moins en moins

importants lorsque nous prenons de plus en plus de termes de la série

pour représenter la fonction.

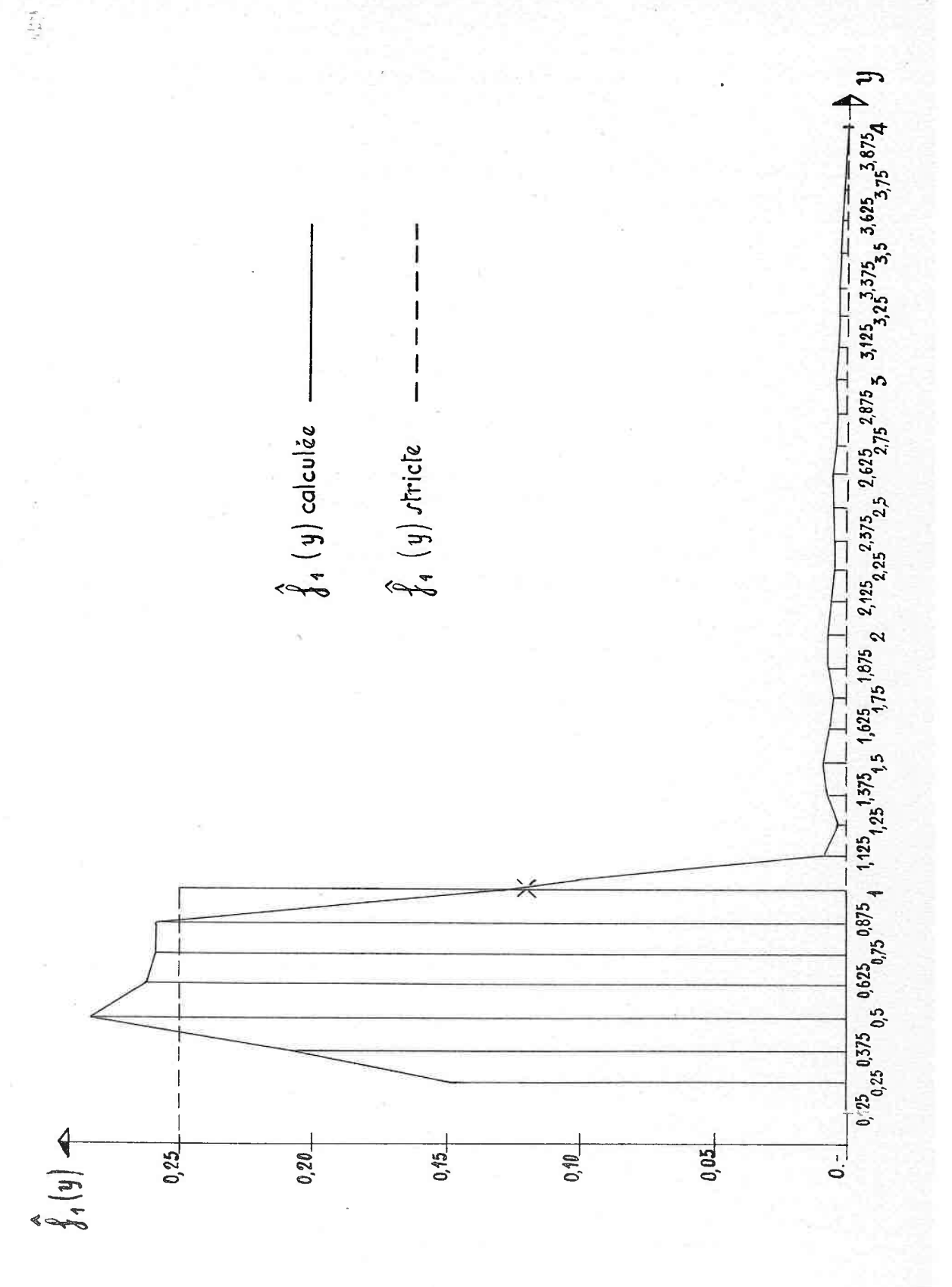
⟨Or, dans notre méthode, nous ne calculons pas l'intégrale ∫ puisque nous négligeons ∫ donc il n'est pas étonnant de retrouver °ce phénomène.

Le fait que nous négligeons l'intégrale $\int_{-\infty}^{\infty} f(x) \cos 2\pi \cos dx$ entraîne de plus que les valeurs numériques de la transformée observées sont enta-chées d'une erreur systématique $(f_*(1) = 0.130)$ au lieu de 0,125 par exemple, au point de discontinuité). En effet f(L) a une valeur assez considérable et il ne sufficiel pas de prendre par exemple une autre fonction $f(x) = \frac{\sin 2\pi x}{2\pi L x}$ L>1 pour amoindrir cette erreur, car la constante, valeur constante transformée de Fourier de cette fonction serait la constante transformée de Fourier de $f(x) = \frac{\sin 2\pi x}{2\pi x}$ divisée par ce même nombre L.

L'erreur relative sur f(L) dépend de L, de l'ordre de $\frac{\sin p \pi L}{L}$ $\left| \frac{\pi}{2} \right| \leqslant \frac{1}{\frac{\pi L}{2}}$

Ce qui nous donne dans notre exemple une erreur relative d'environs 6% et une erreur absolue au moins égale à 0,007.

Par conséquent pour obtenir une meilleure approximation de $\hat{f}(y)$, donc, non seulement l'allure du sout de cette fonction mais aussi une valeur numérique ajustée de la constante représentant cette fonction en réalité, il faudrait augmenter la valeur de la limite L tout en conservant le même nombre de points de définition pour une bosse de la fonction. Le phénomène de GIBBS en serait en même temps attènué mais pas supprimé.



- CONCLUSION -

Notre méthode a montre son eficacité dans le calcul des coeficients d'une série de Fourier ou celui d'une transformée de Fourier d'une fonction expérimentale.

Nous pouvons approcher toute intégrale: $\int_{a}^{b} k(xy) f(x) dx = g(y)$

par le système linéaire: $C_i^j f(x) = g(y_j)$

en interpolant la seule fonction f(x) et en conservant le noyau k(xy) sous forme mathématique.

Cette méthode permet en particulier le calcul d'intégrales singulières, avec noyaux infinis ou bosses infinies par exemple.

Elle peut être, dans l'avenir, le point de départ d'une mise au point d'un moyen de résolution des équations intégrales linéaires : nous voyons la possibilité de remplacer par un système linéaire une équation intégrale du type de celle citée ci dessus.

VU ET APPROUVÉ
NANCY, le Octobre 1962
LE DOYEN,
M.ROUBAULT

VU ET PERMIS D'IMPRIMER

NANCY, le Octobre 1962

LE RECTEUR.

Président du Conseil de l'Université

P. IMBI